

Fig. 1

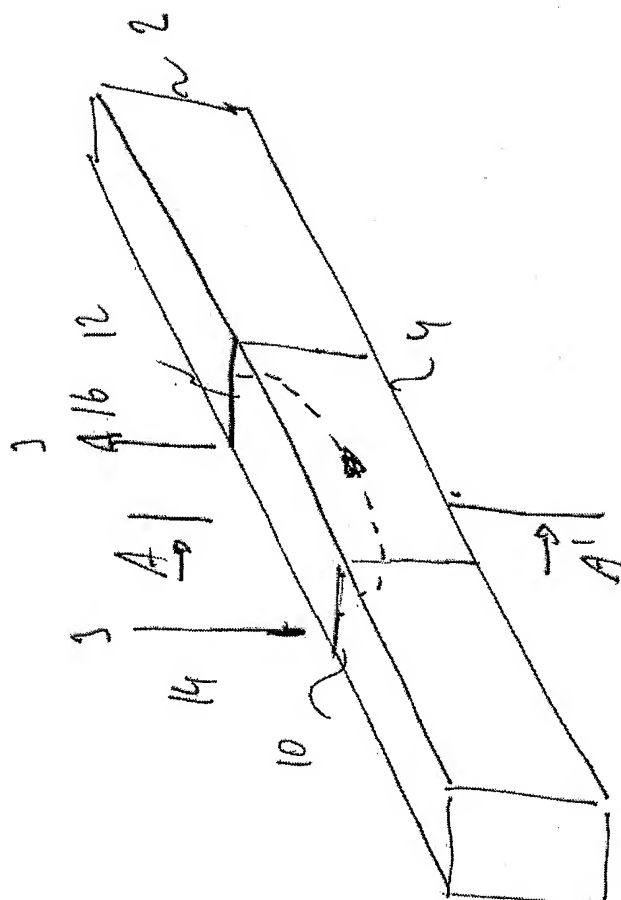


Fig. 2A

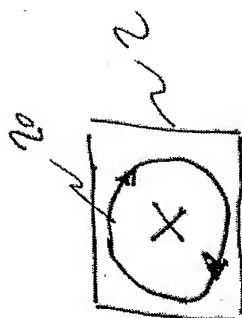


Fig. 2B

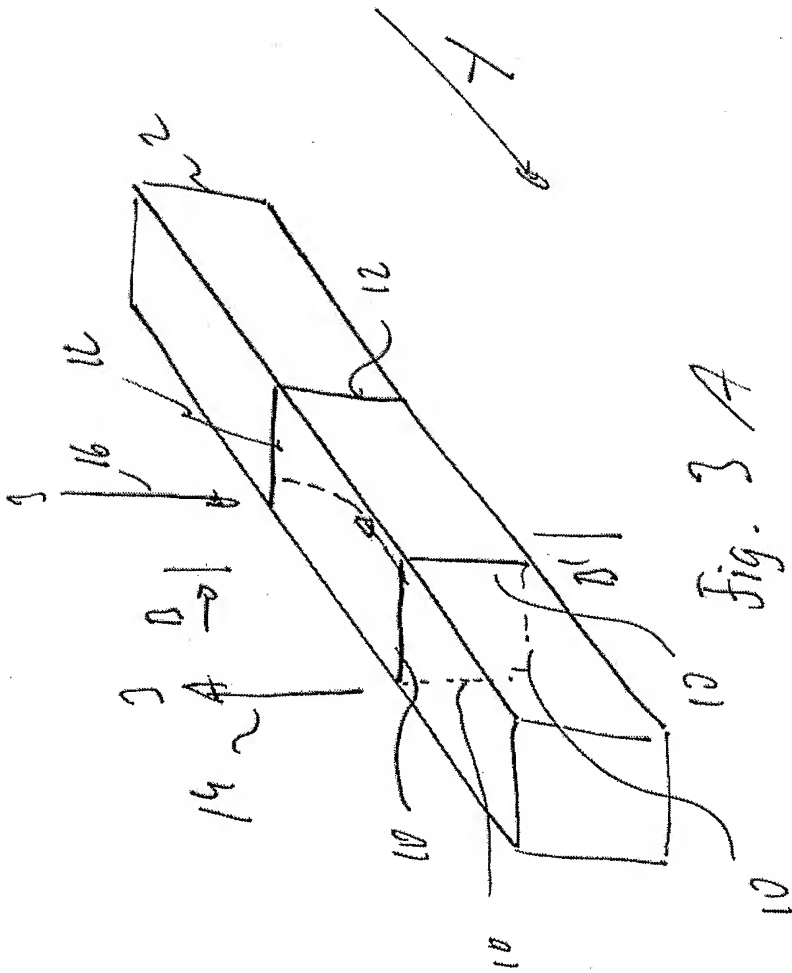


Fig. 3 A

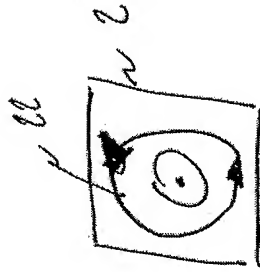


Fig. 3 B

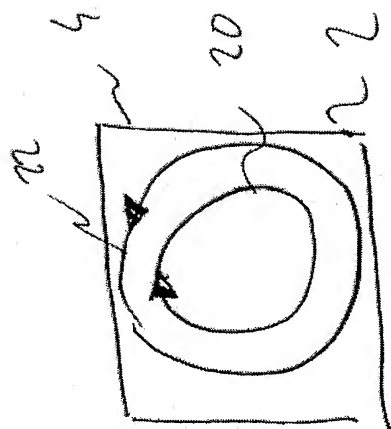
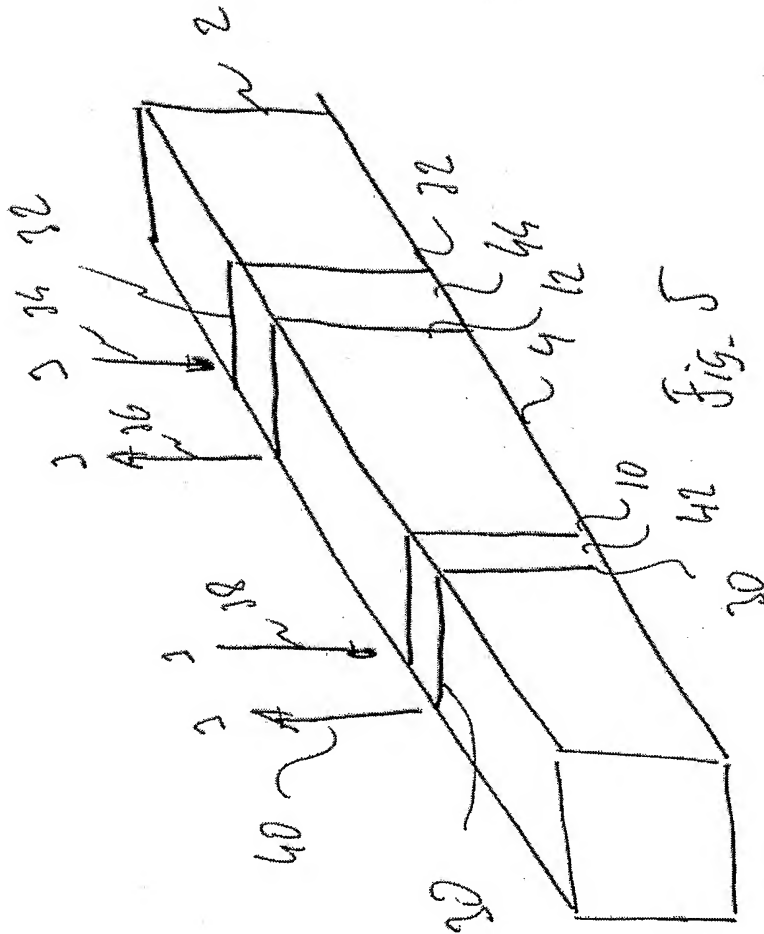


Fig. 4



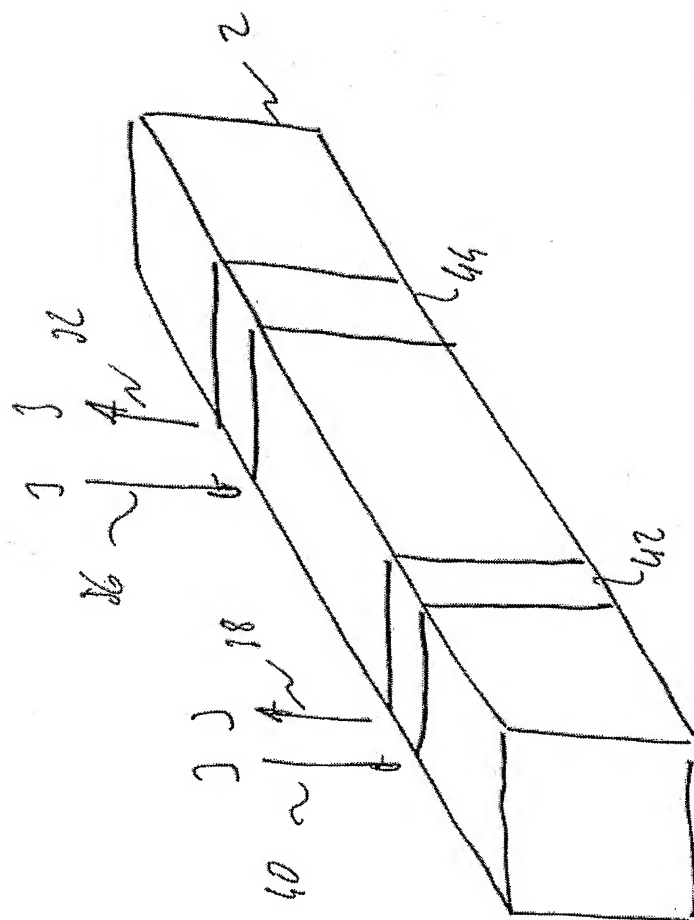


Fig. 6

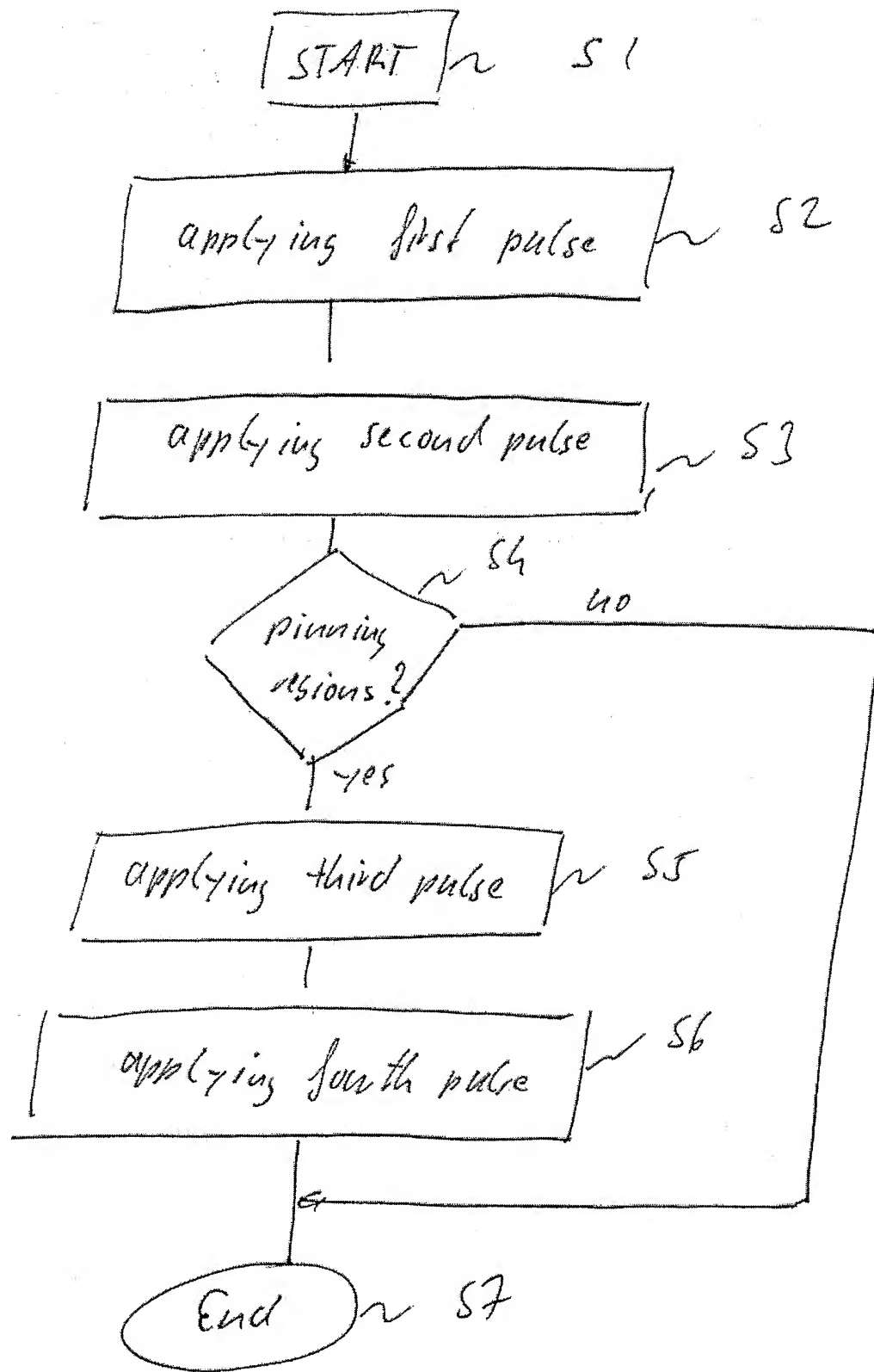


Fig. 7

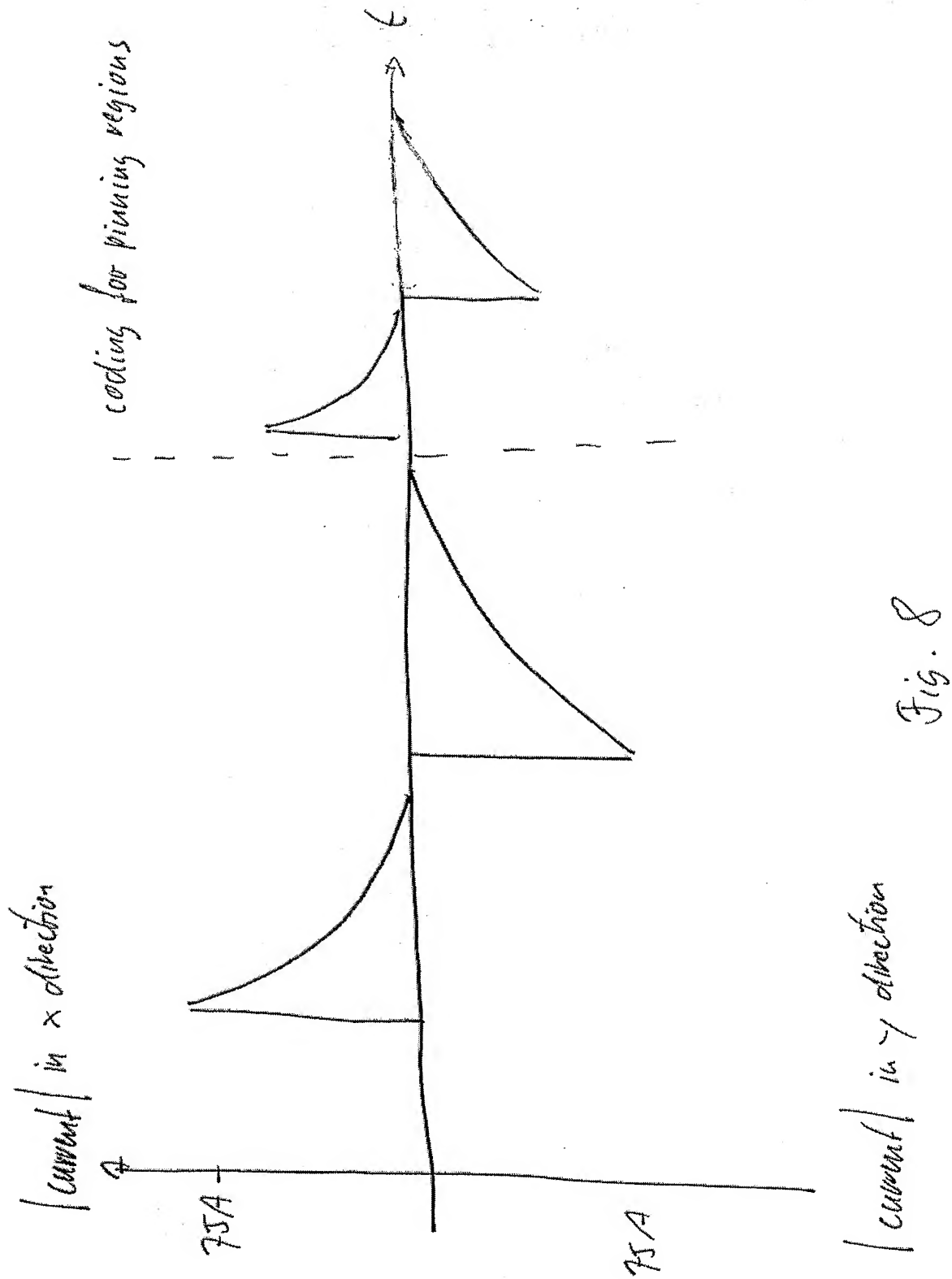


Fig. 8



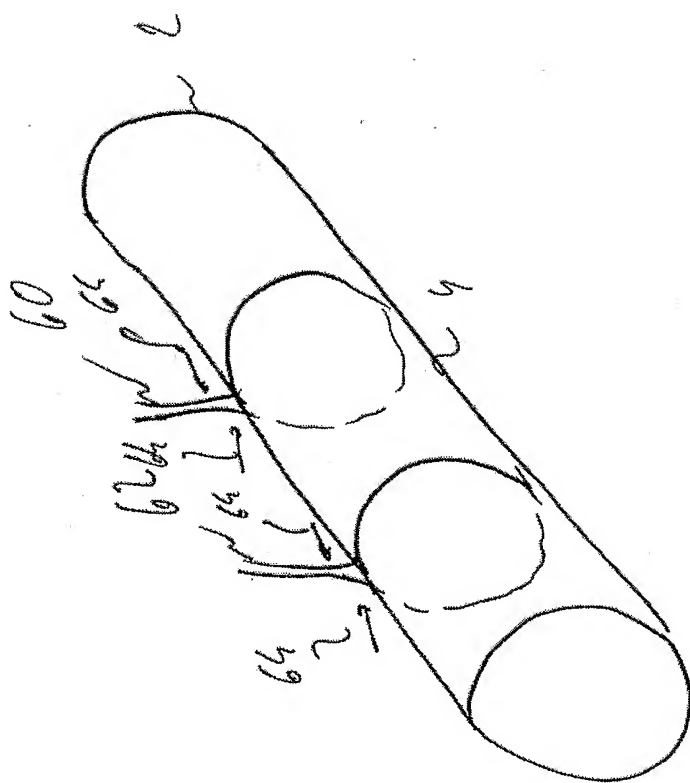


Fig. 9

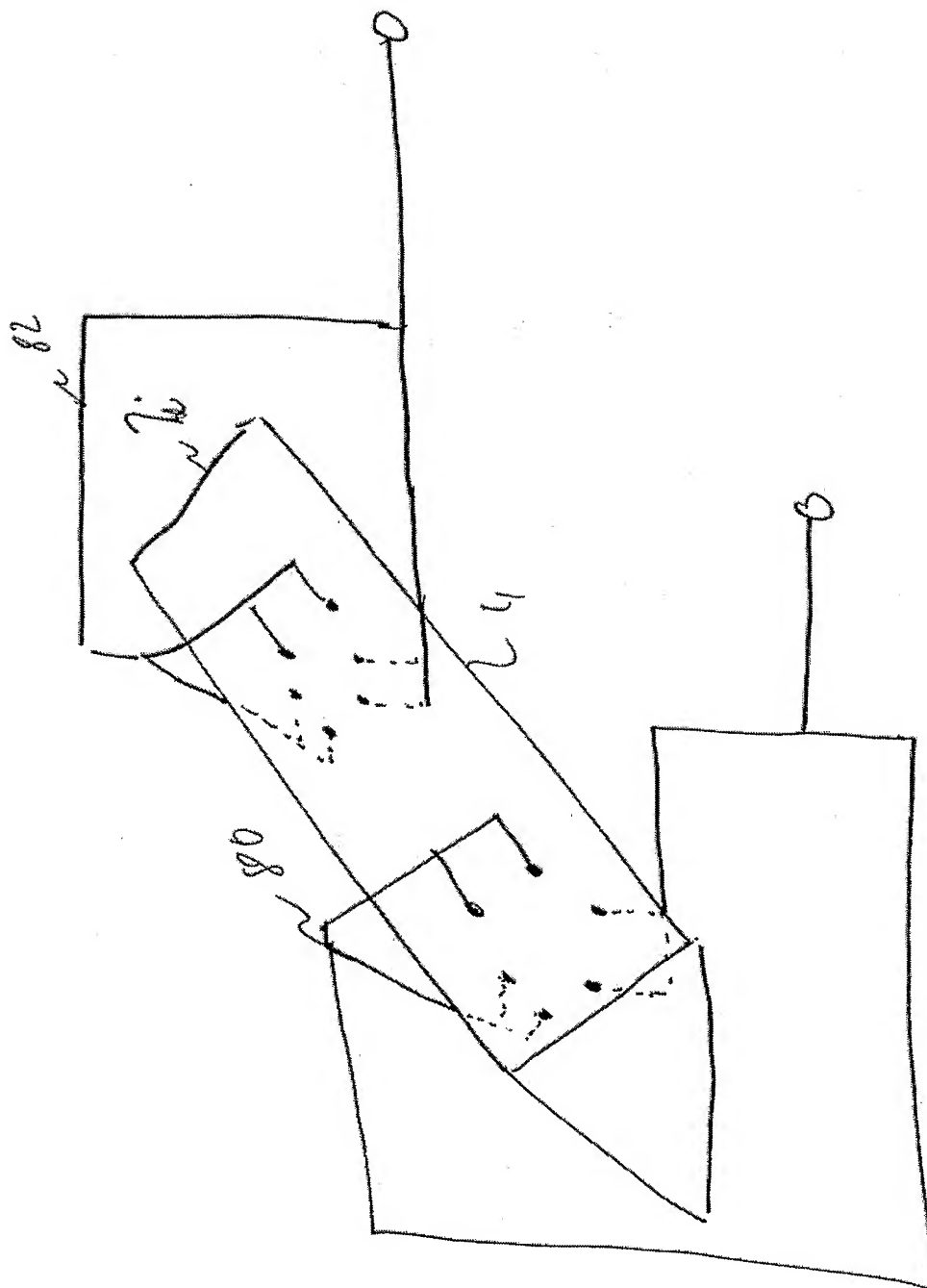


Fig. 10 A

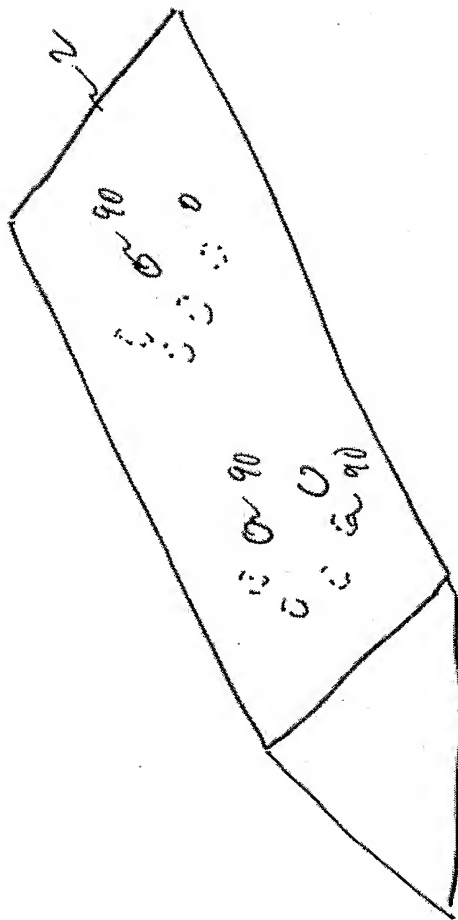


Fig. 10B

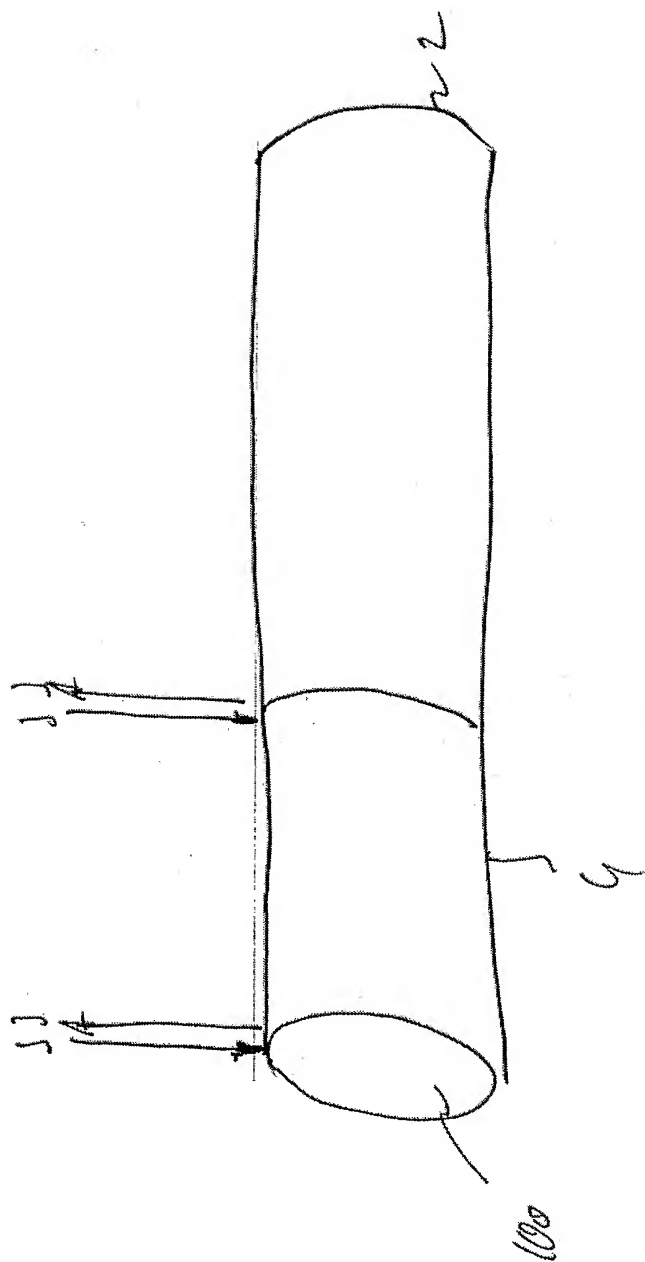


Fig. 11

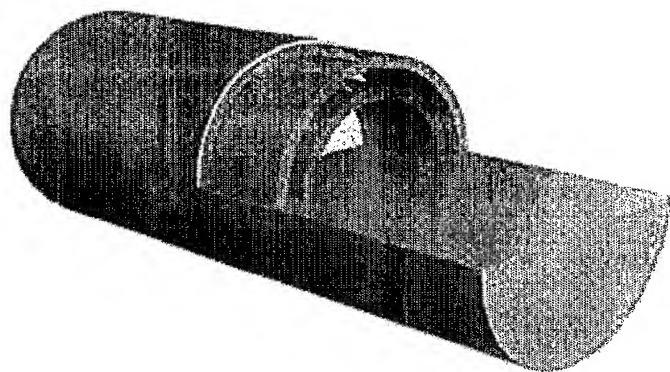


Fig. 12

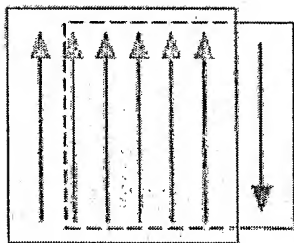
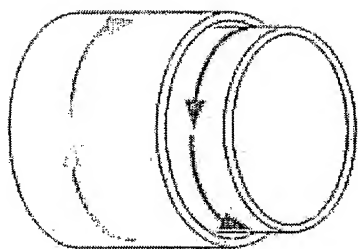


Fig. 13

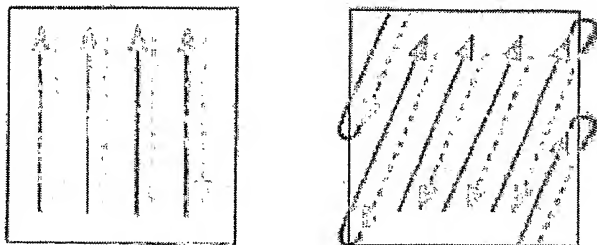


Fig. 14

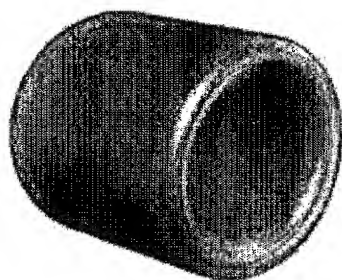


Fig. 15

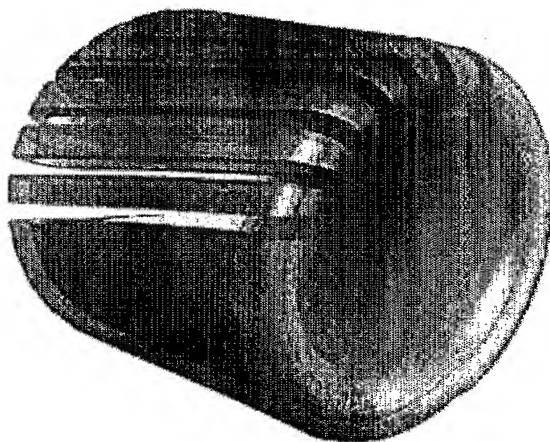


Fig. 16

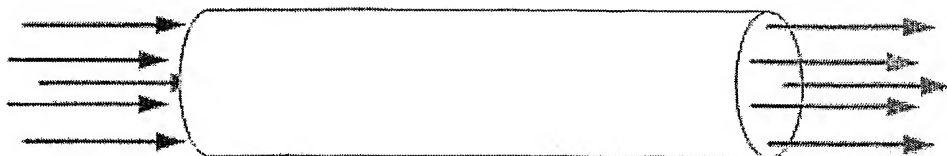


Fig. 17

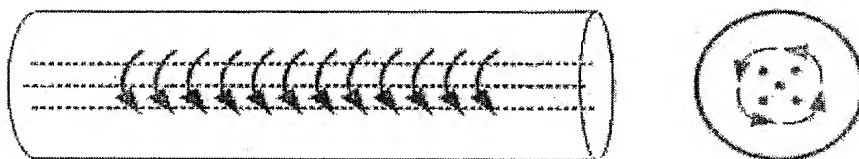


Fig. 18

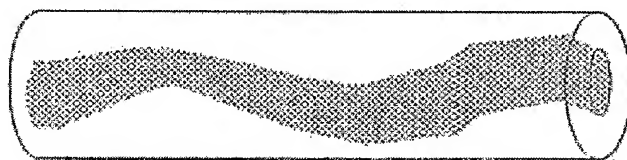


Fig. 19

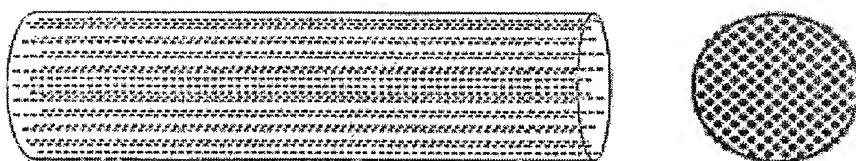


Fig. 20

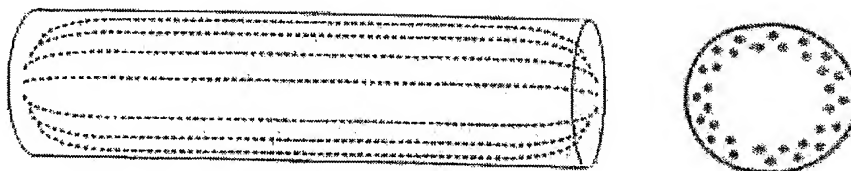


Fig. 21

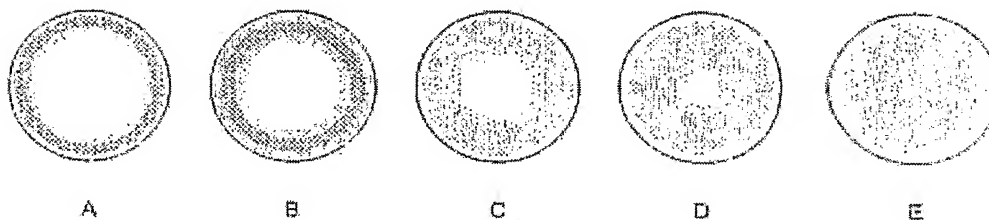


Fig. 22

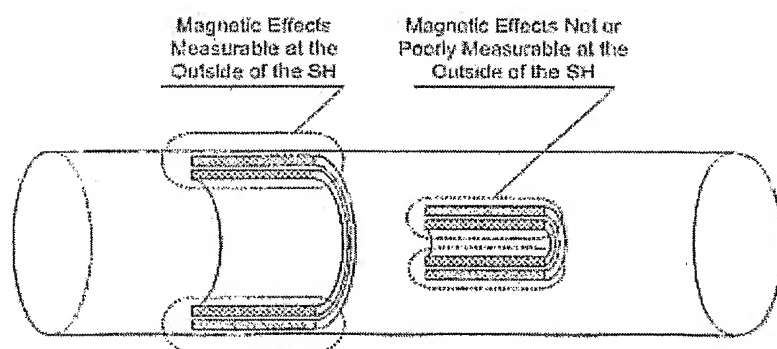


Fig. 23



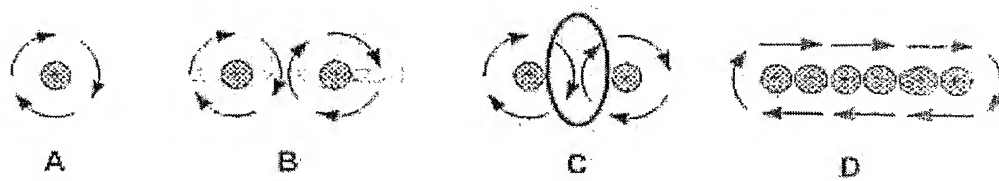


Fig 24

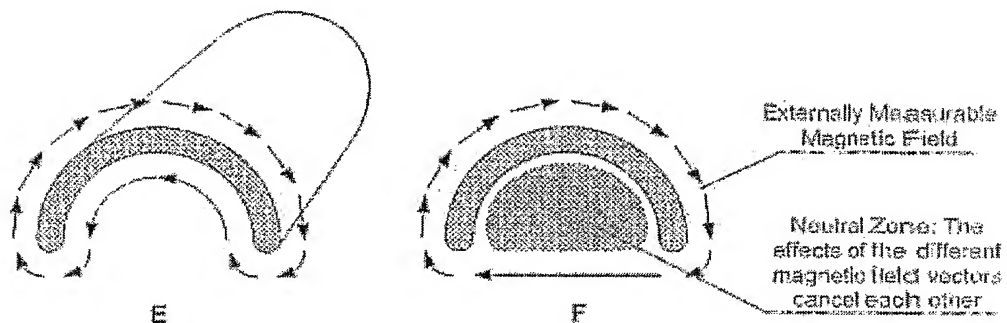


Fig. 25

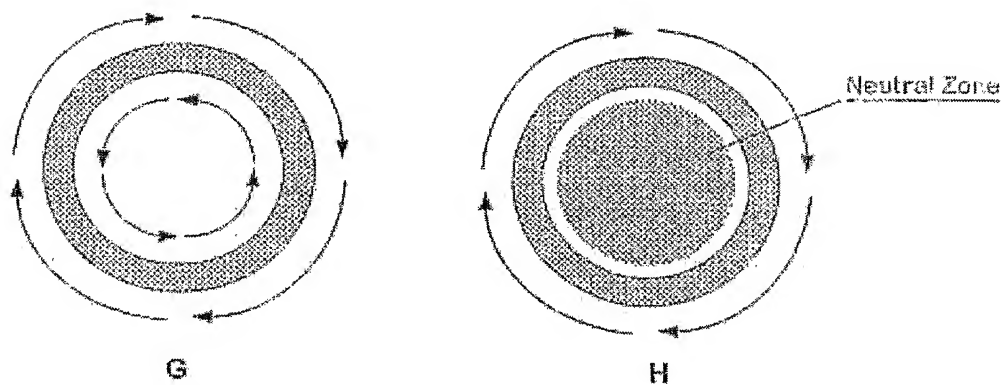


Fig 26

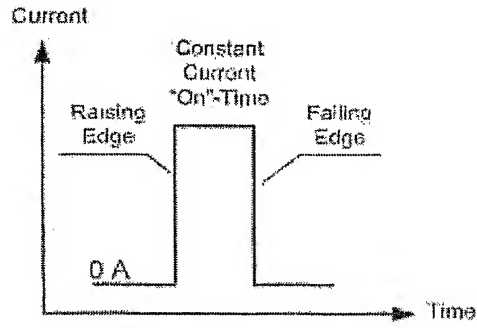


Fig. 27

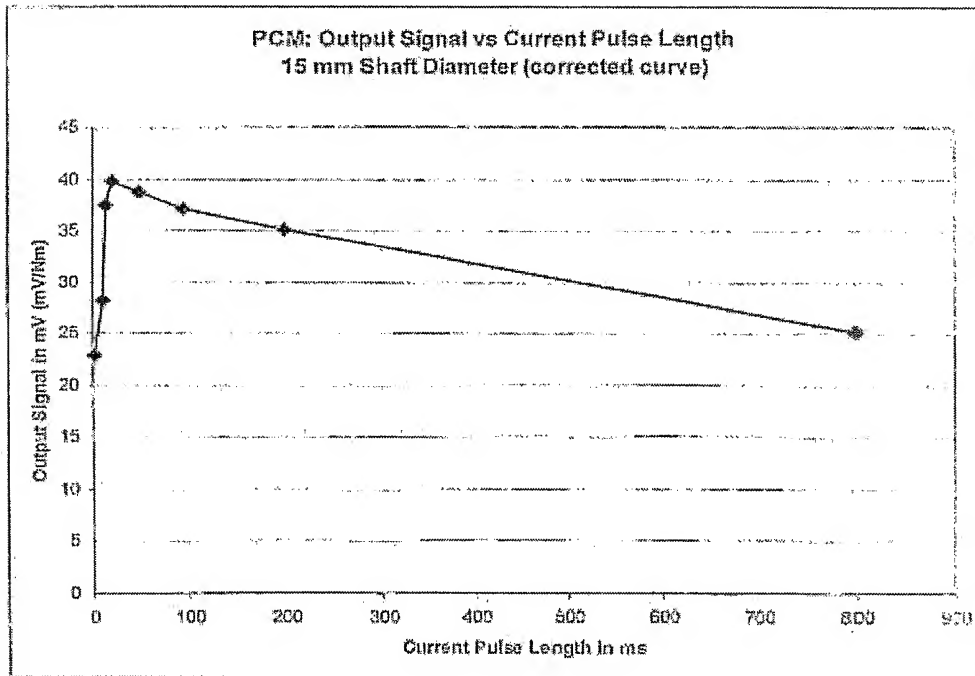
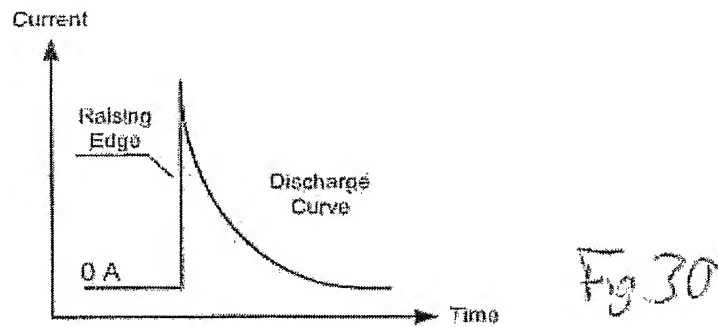
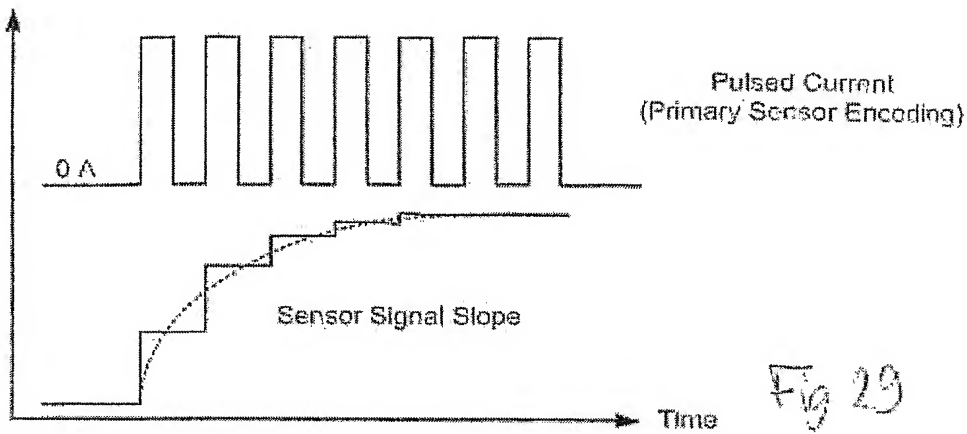
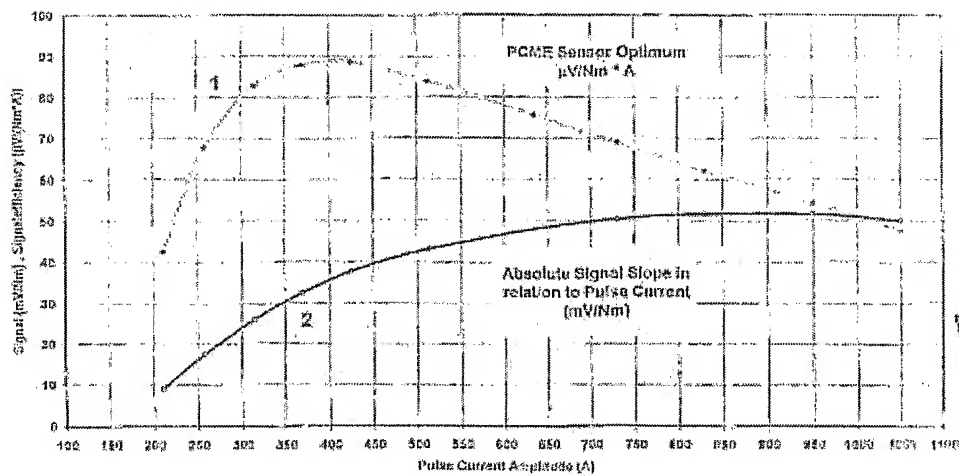


Fig. 28



Signal (mV/Nm) and Signal Efficiency ( $\mu\text{V}/(\text{Nm} \cdot \text{A})$ ) vs Current at 15mm Shaft



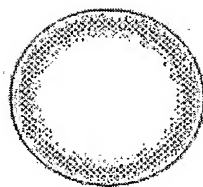


Fig. 32

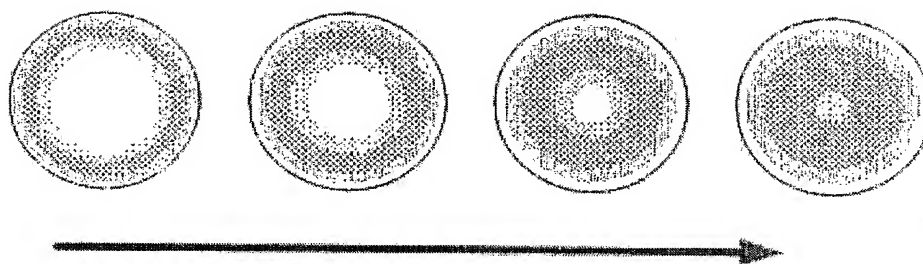


Fig. 33

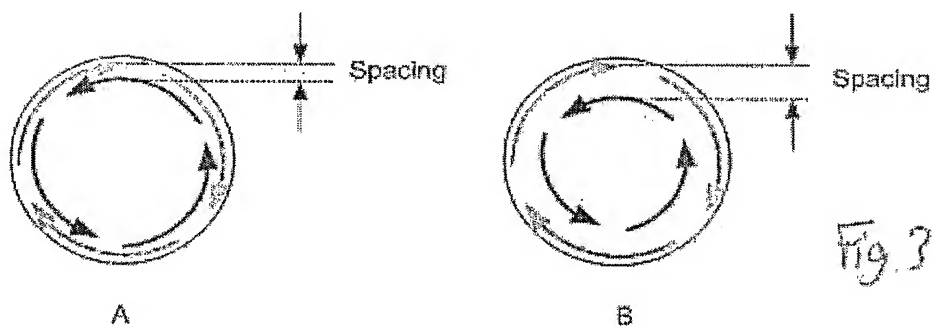


Fig. 34

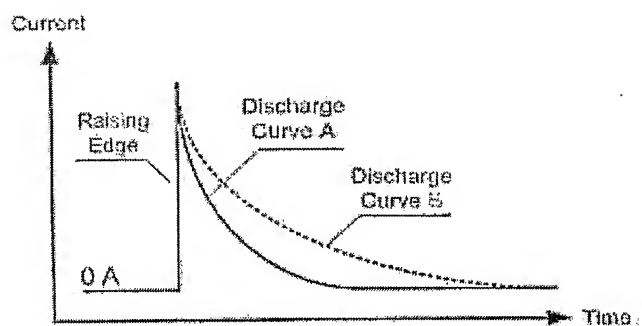


Fig. 35

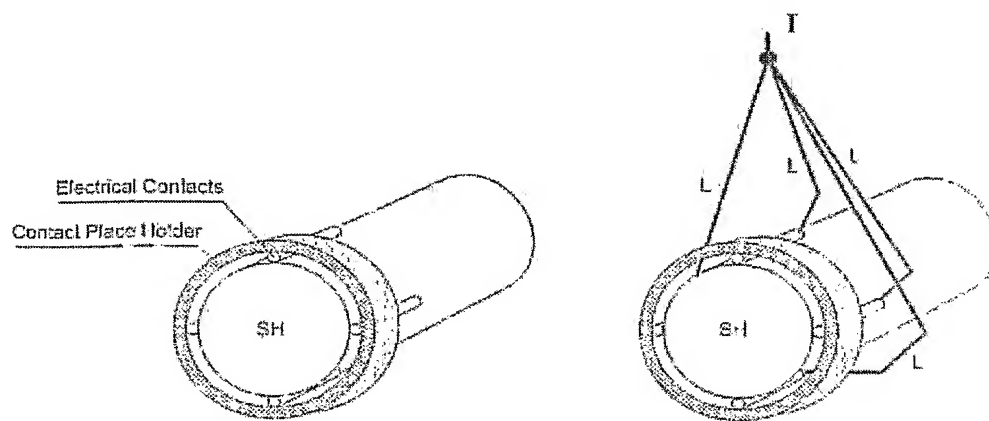


Fig. 36

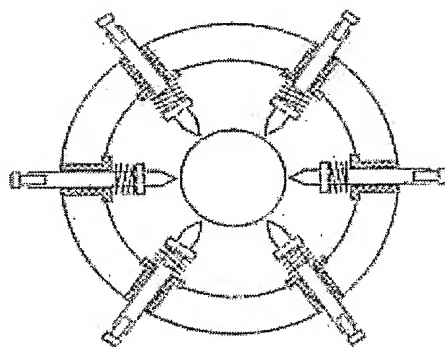


Fig. 37

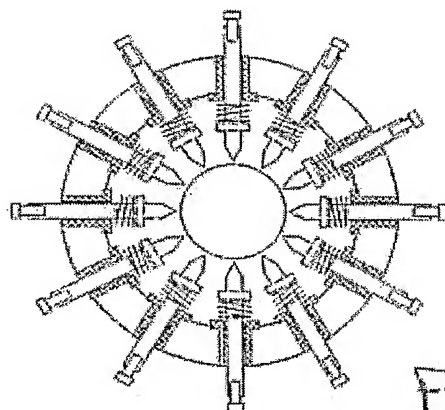


Fig. 38

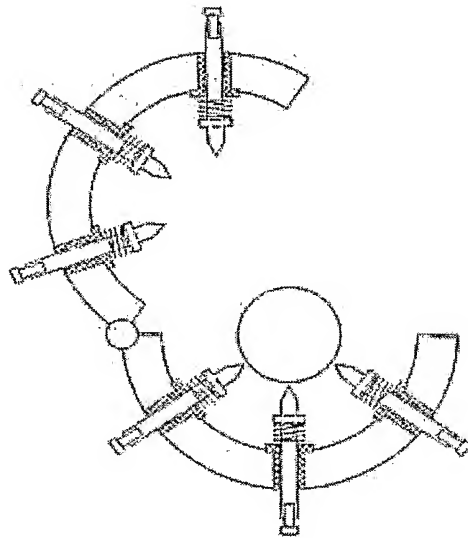


Fig. 39

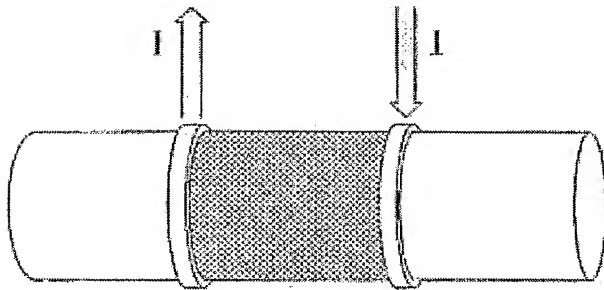


Fig. 40

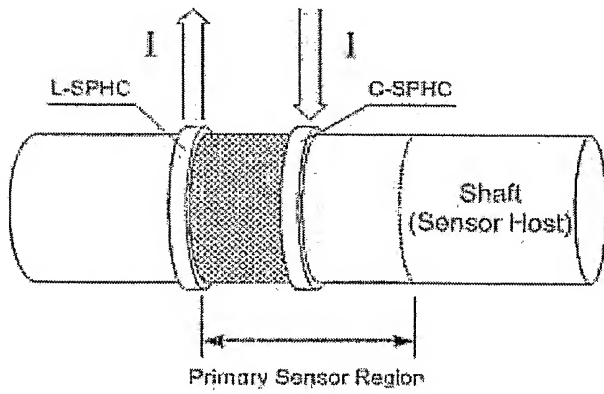


Fig. 41

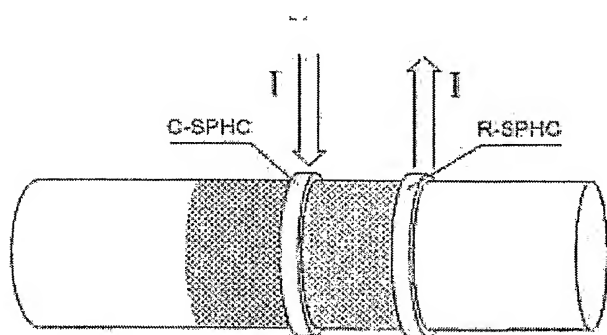


Fig. 42

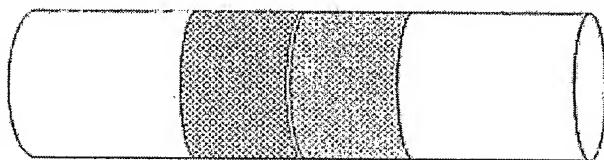


Fig. 43

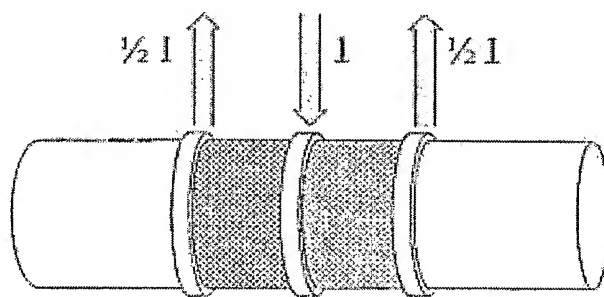


Fig. 44

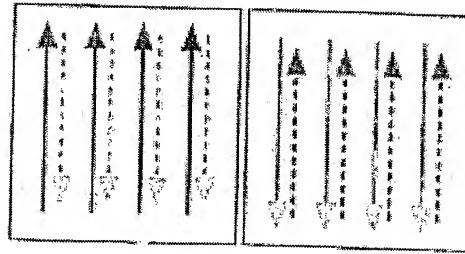


Fig. 45

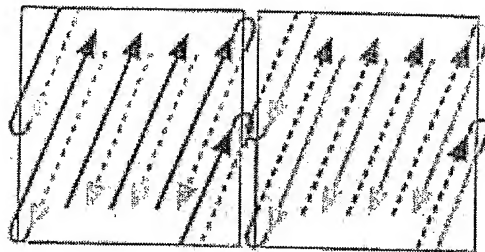


Fig. 46

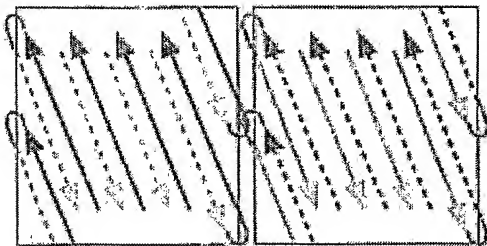


Fig. 47



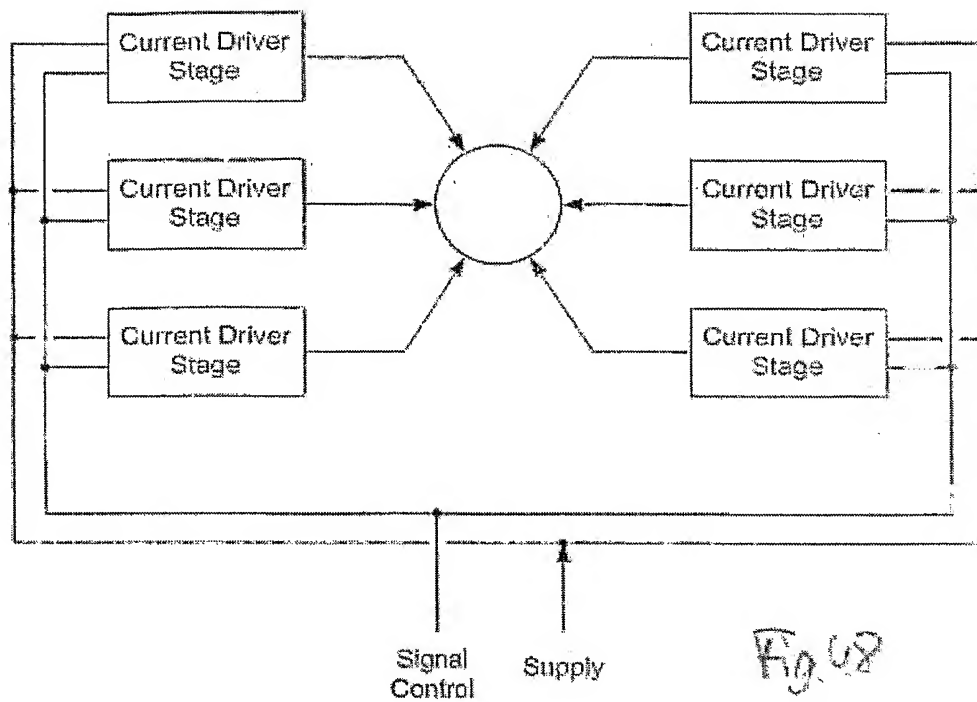


Fig. 48

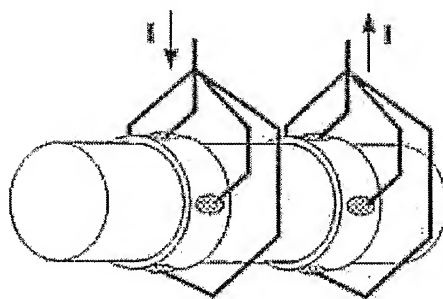
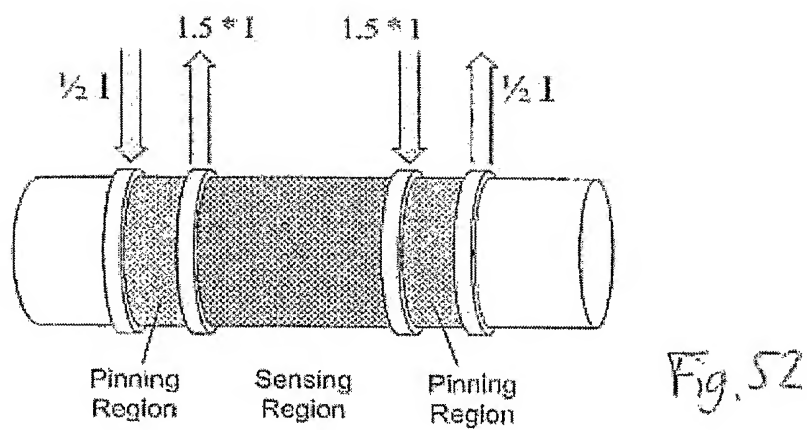
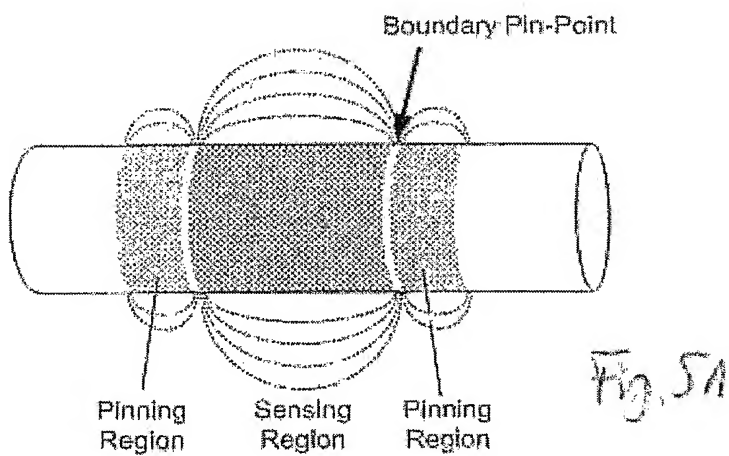
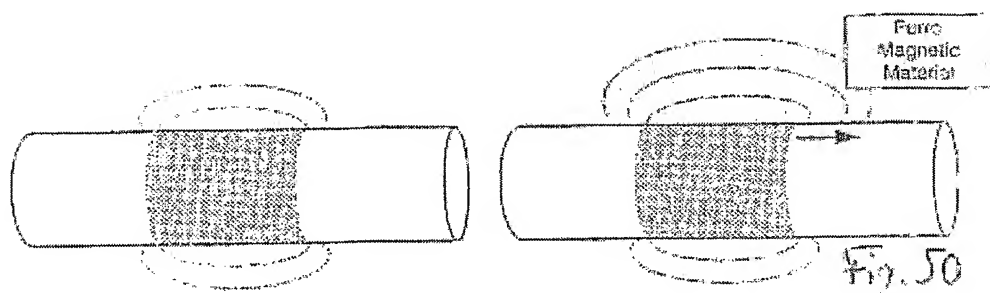


Fig. 49



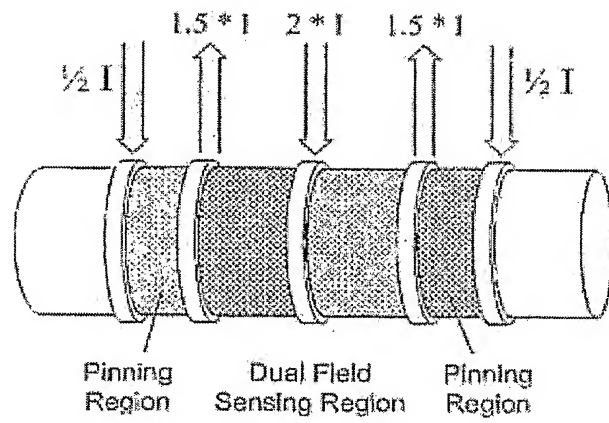


Fig. 53

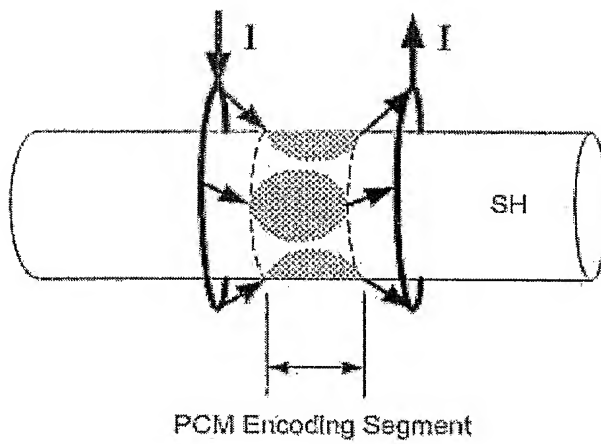


Fig. 54

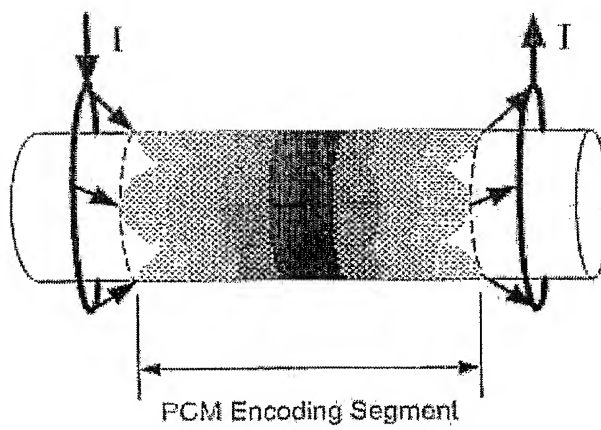


Fig. 55

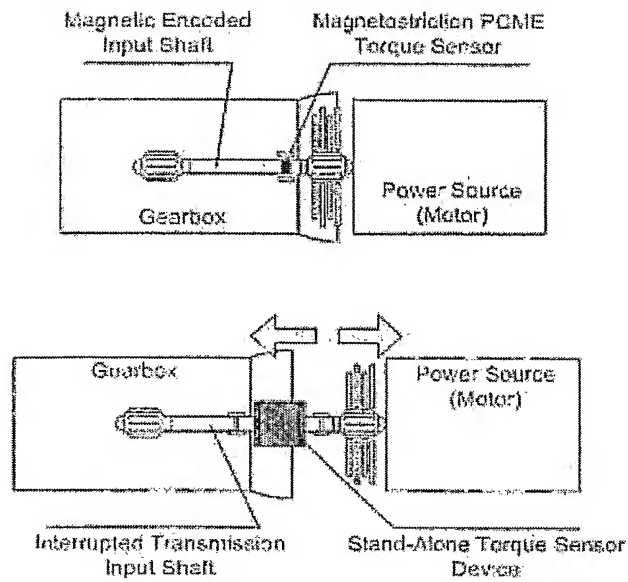


Fig. 56

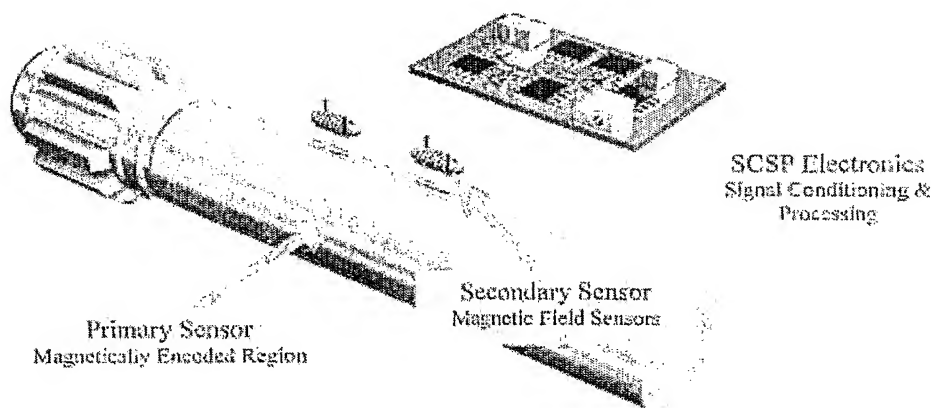


Fig. 57

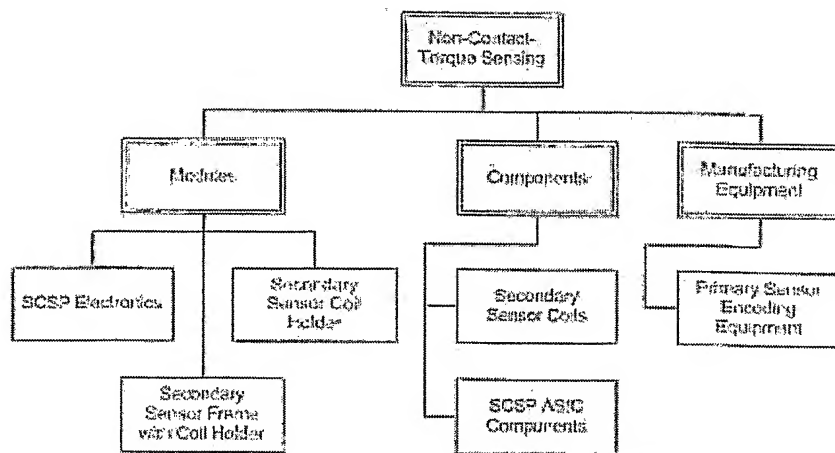


Fig. 58

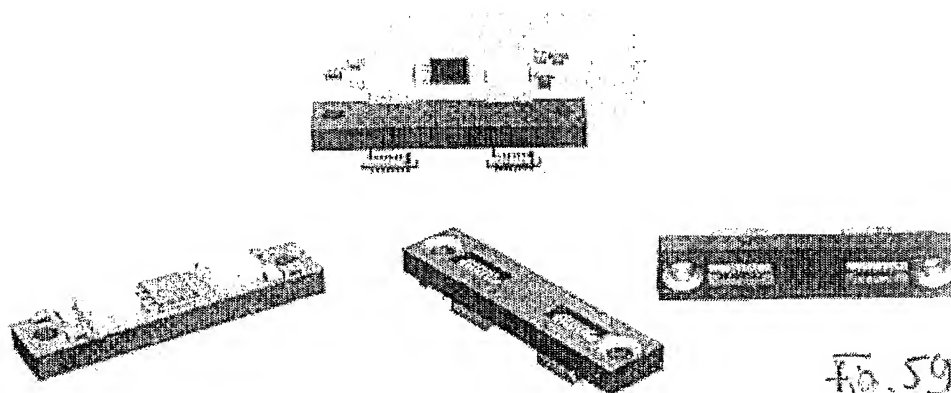


Fig. 59

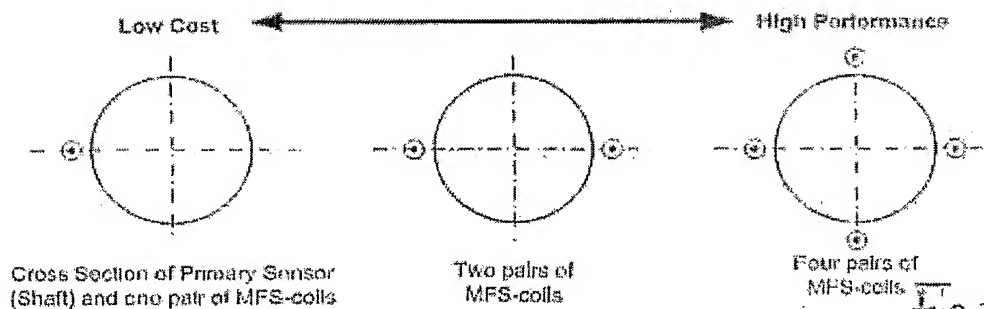


Fig. 60

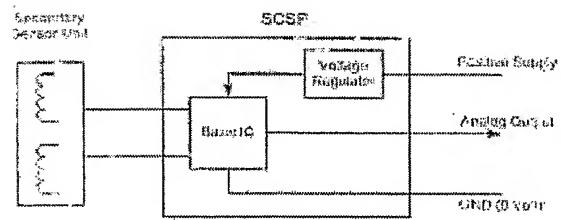


Fig. 61

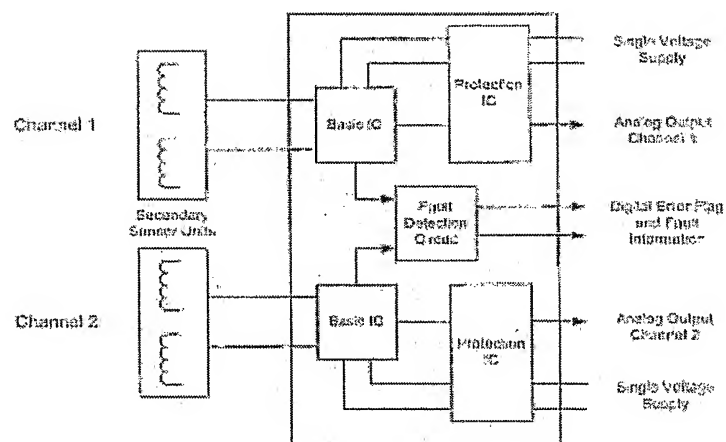


Fig. 62

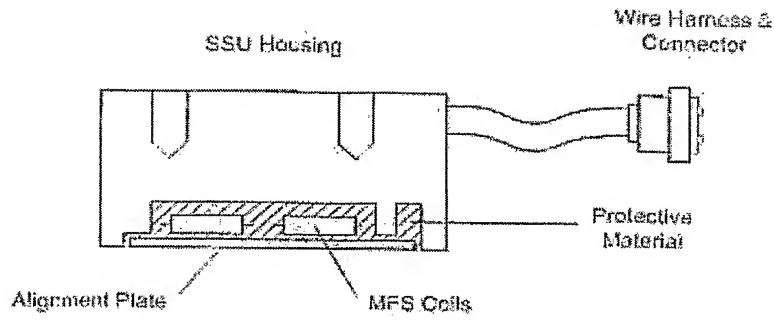


Fig. 63

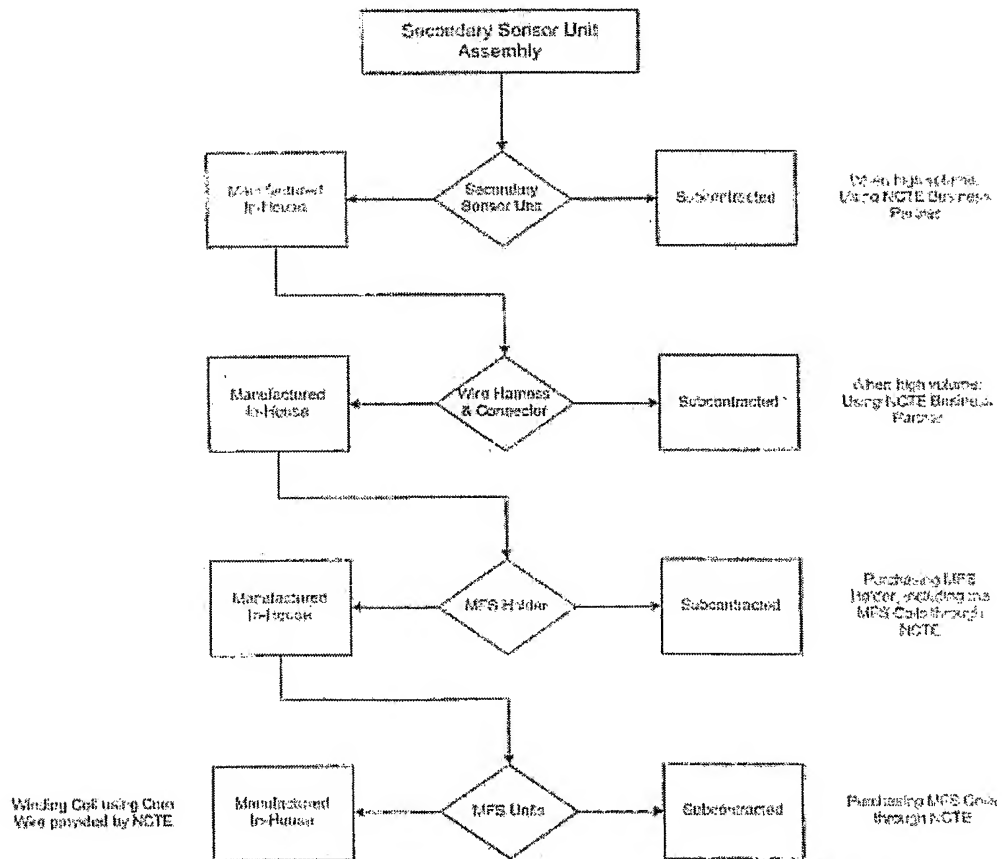


Fig. 64

Secondary Sensor  
Magnetic Field Sensors

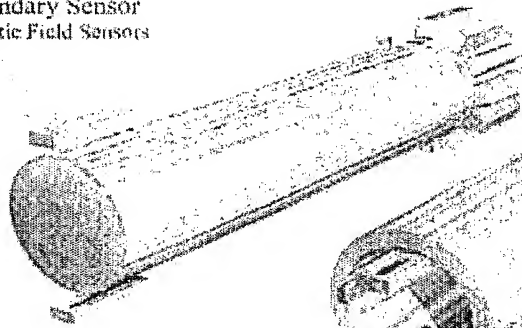


Fig. 65

Primary Sensor  
Magnetically Encoded Region

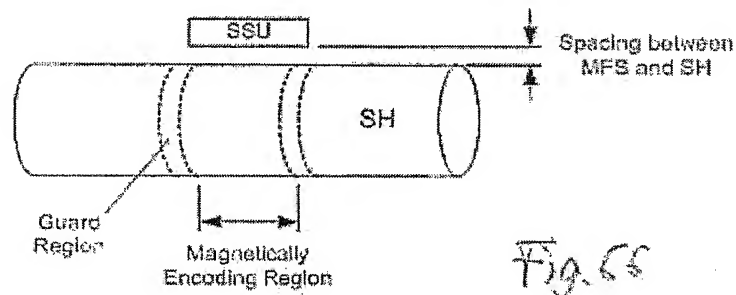
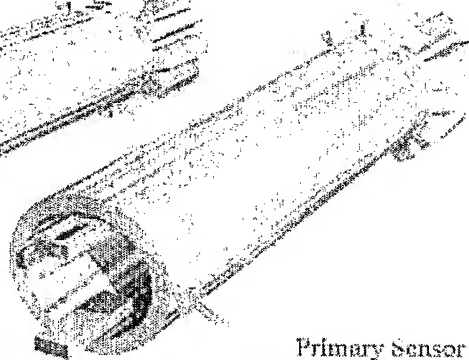


Fig. 66



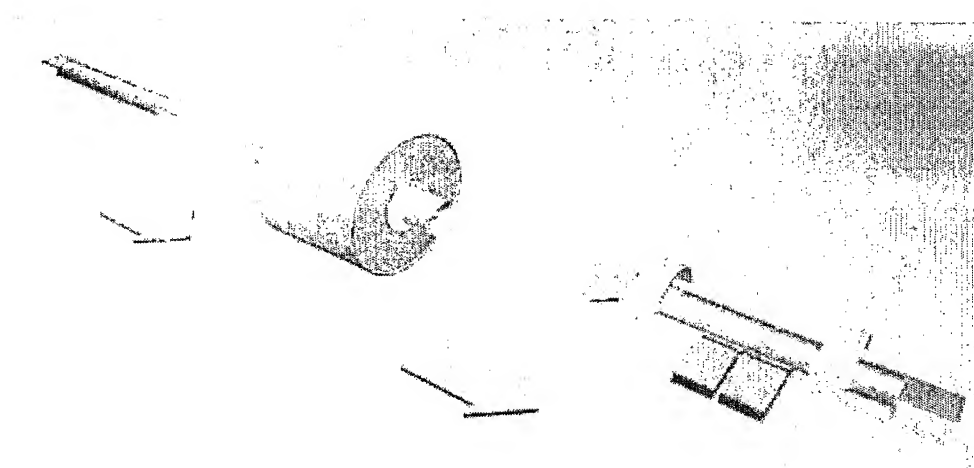
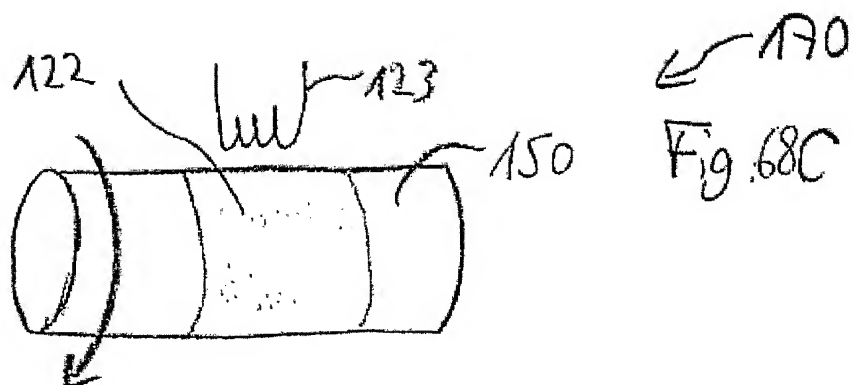
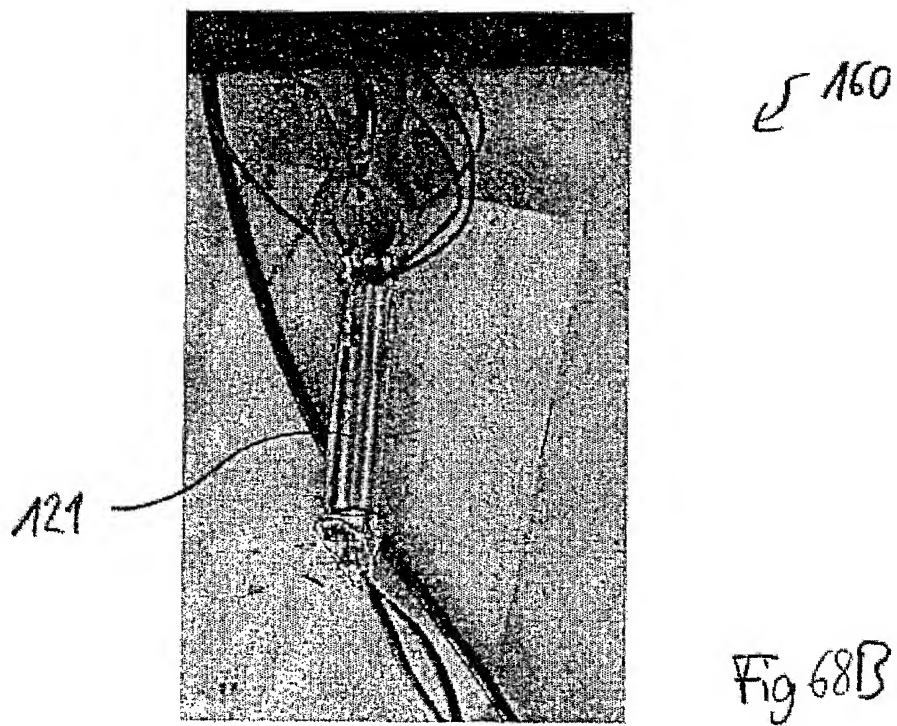
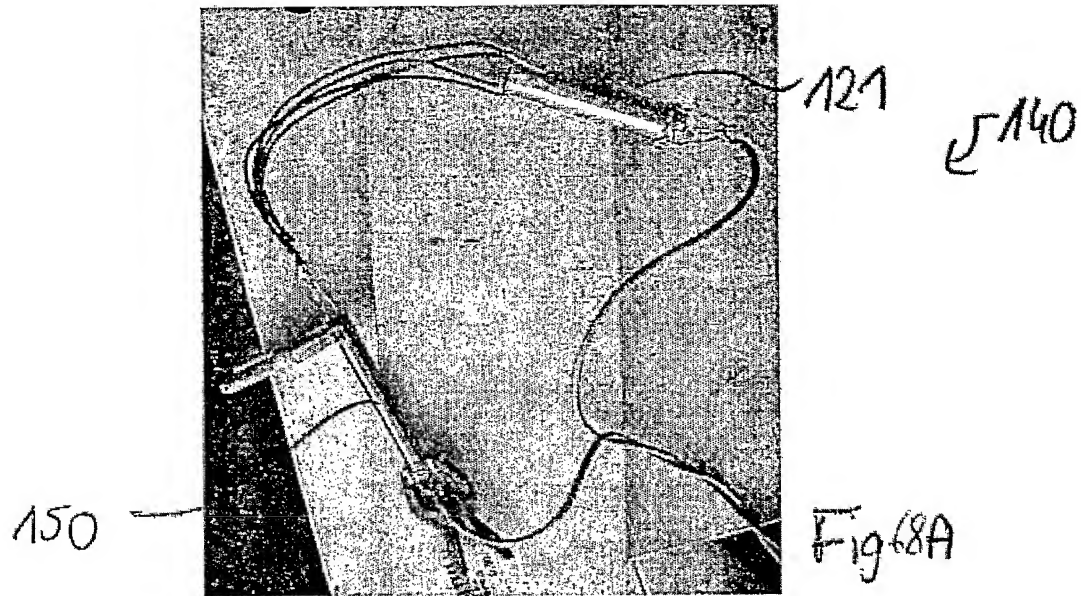
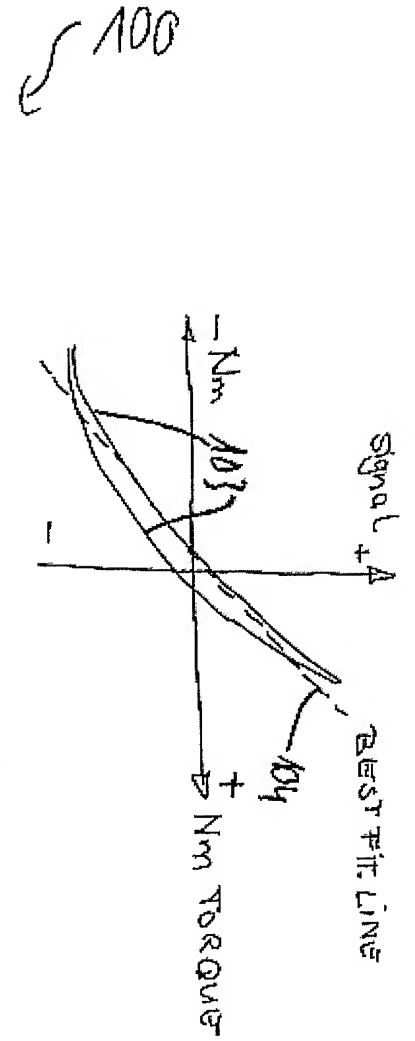


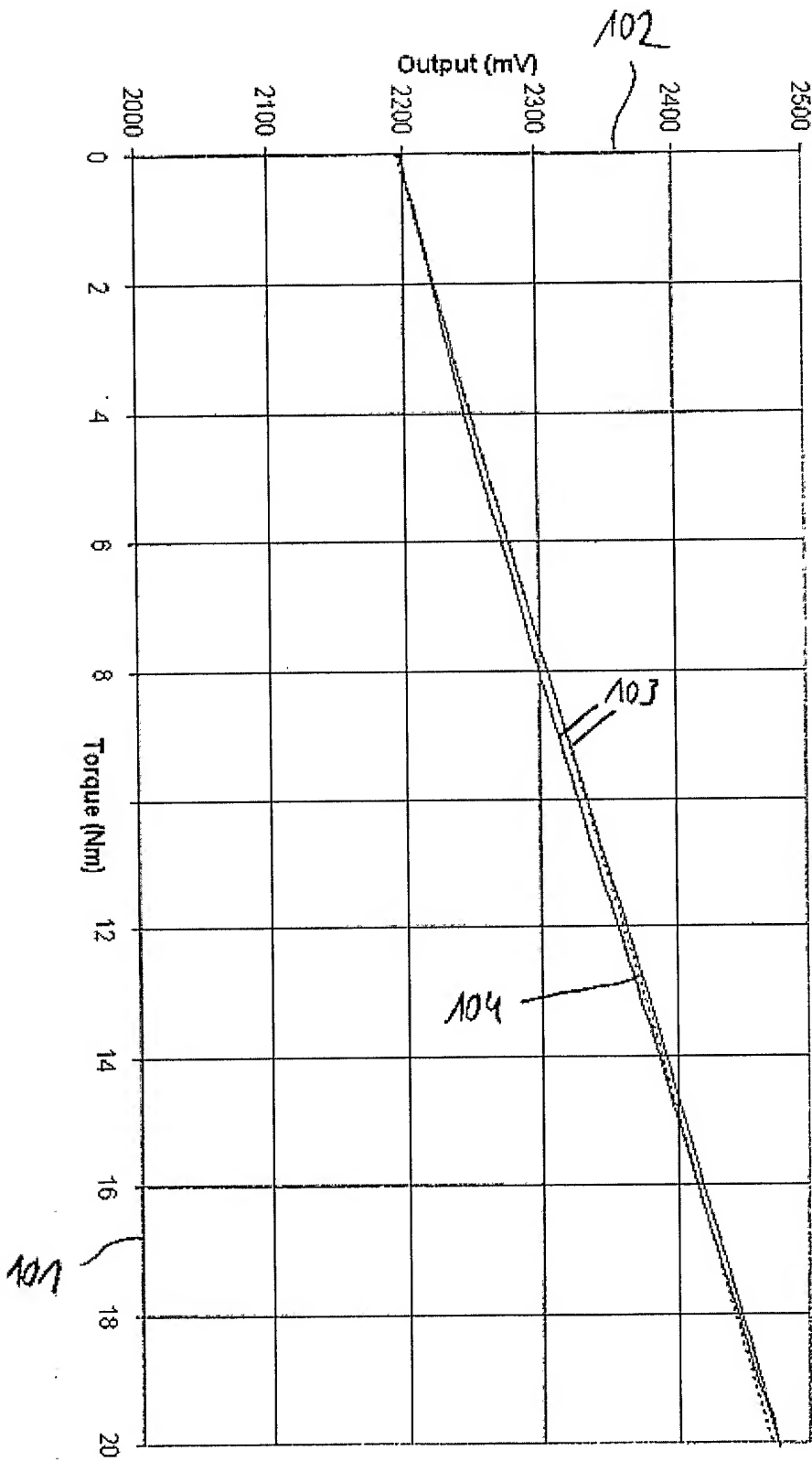
Fig. 6A

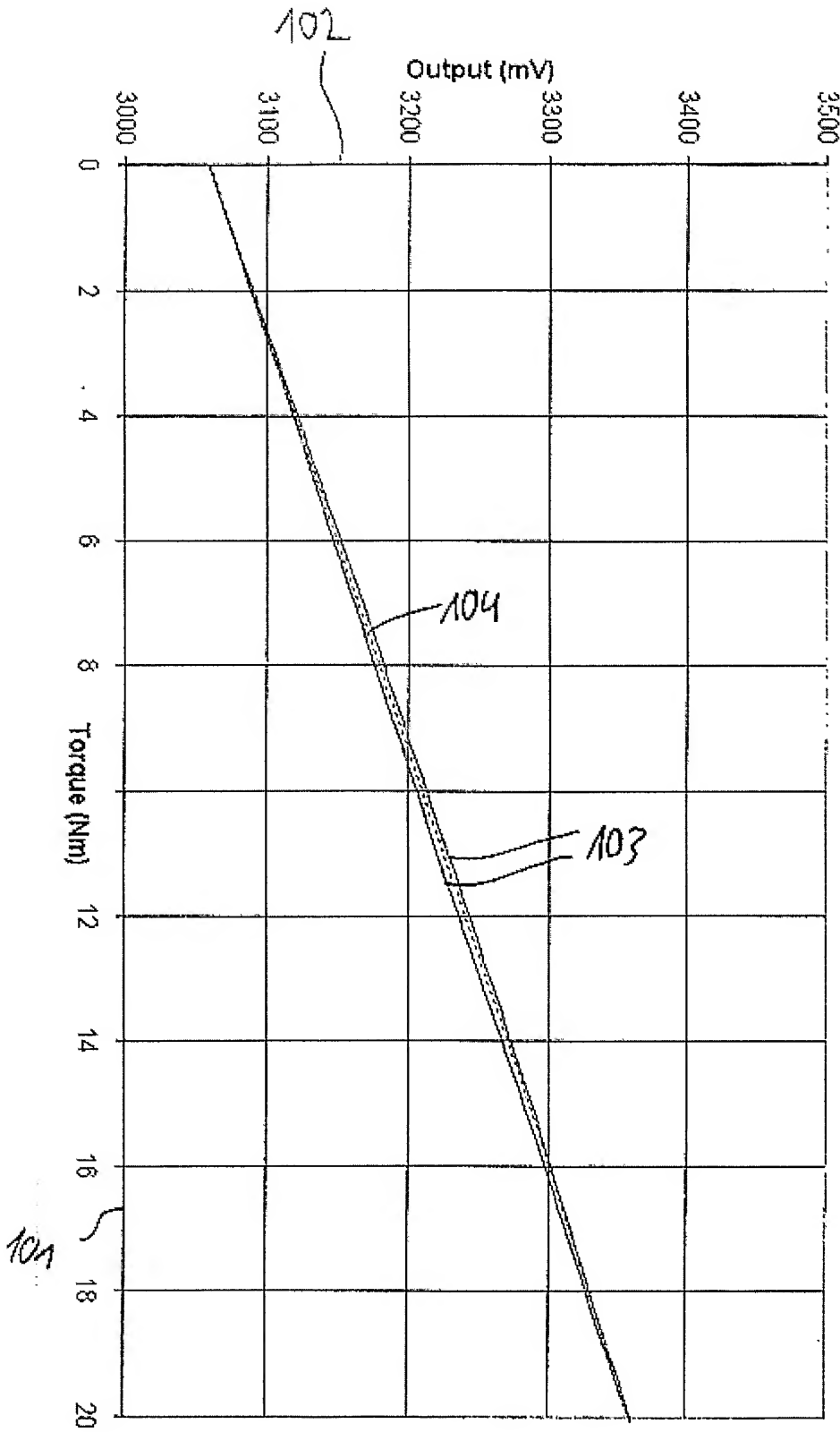




9mm #1c ST0A (G=0.4 Hyst. 3.72% 13.8mV/Nm adapter deg.)

Fig. 68D





9mm #2c SAPP 550A (G=0.4, Hyst.: 2.59% 15.1mV/Nm adapters degaussed)

710

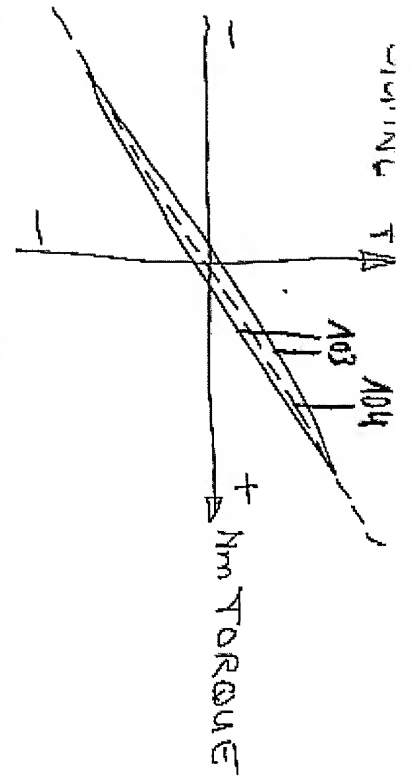
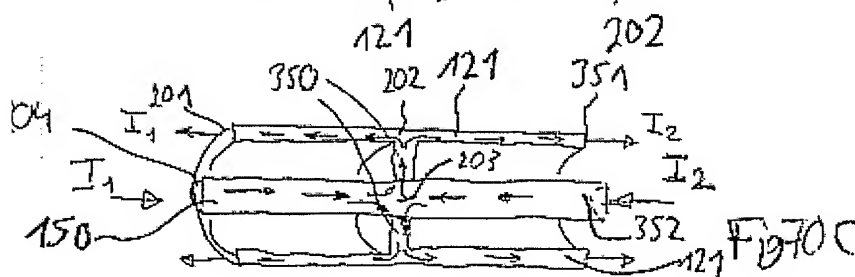
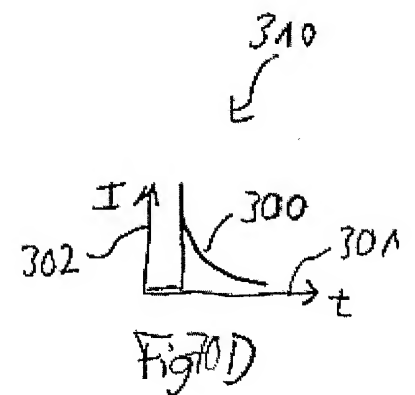
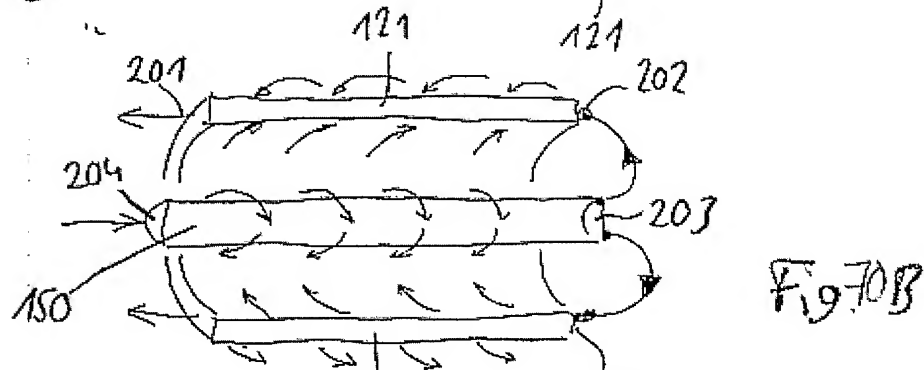
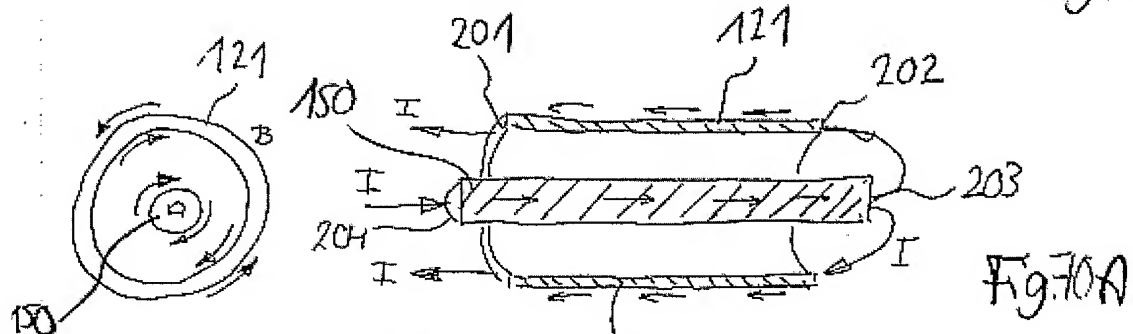
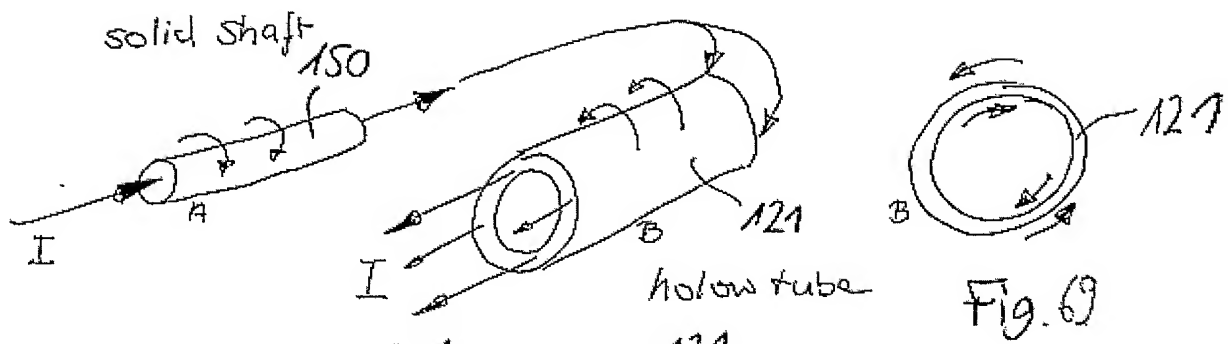
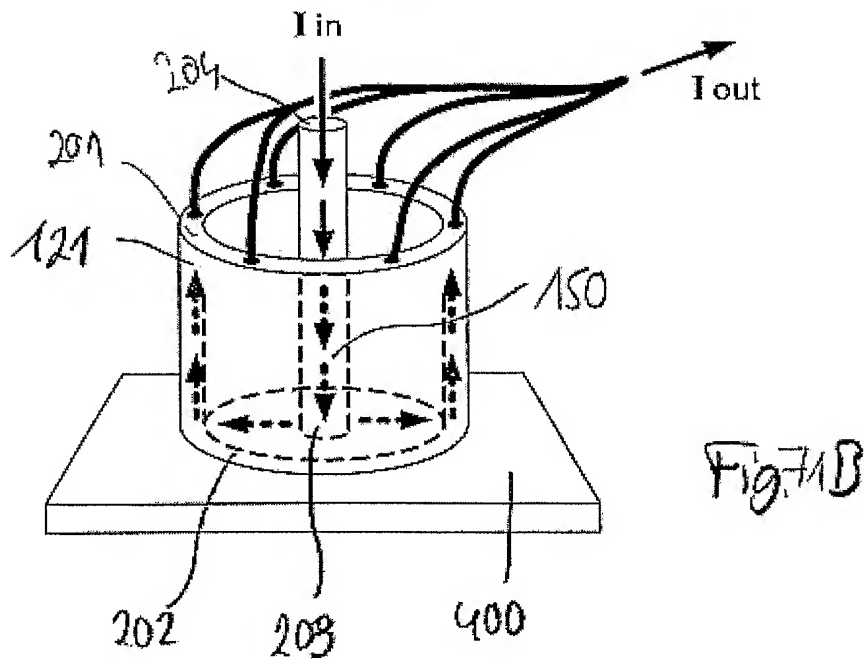
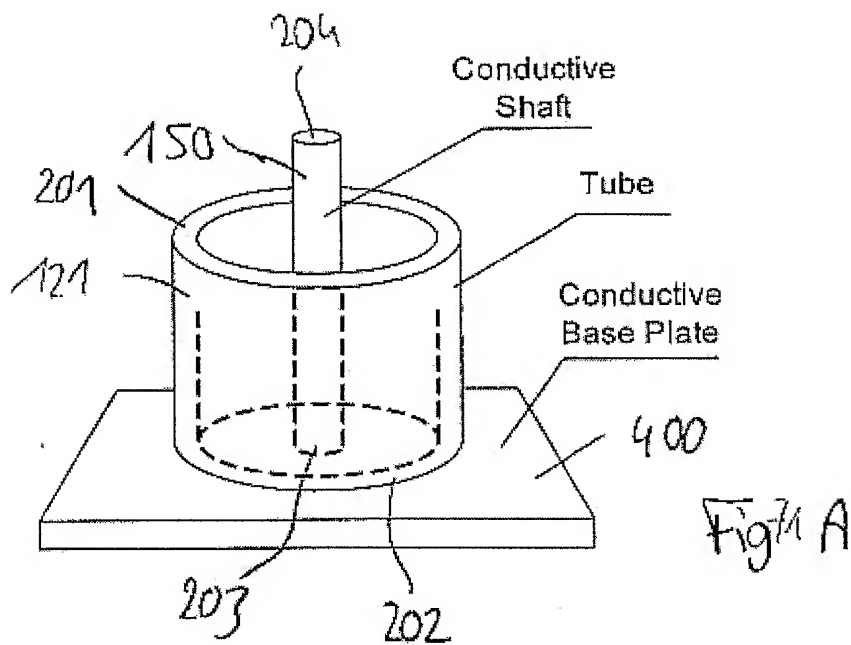
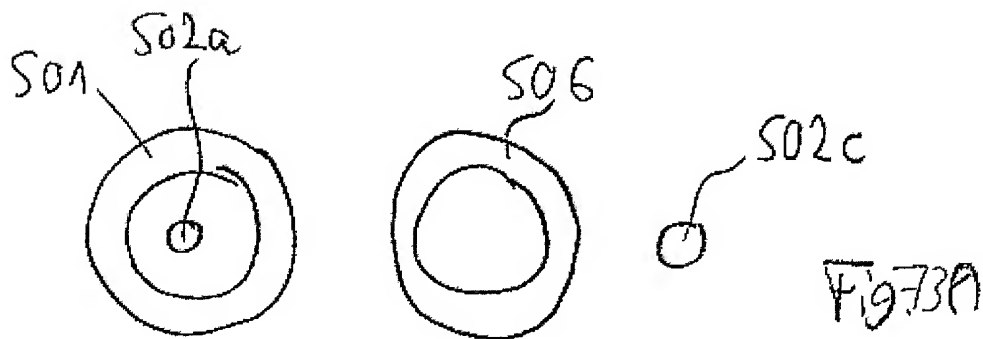
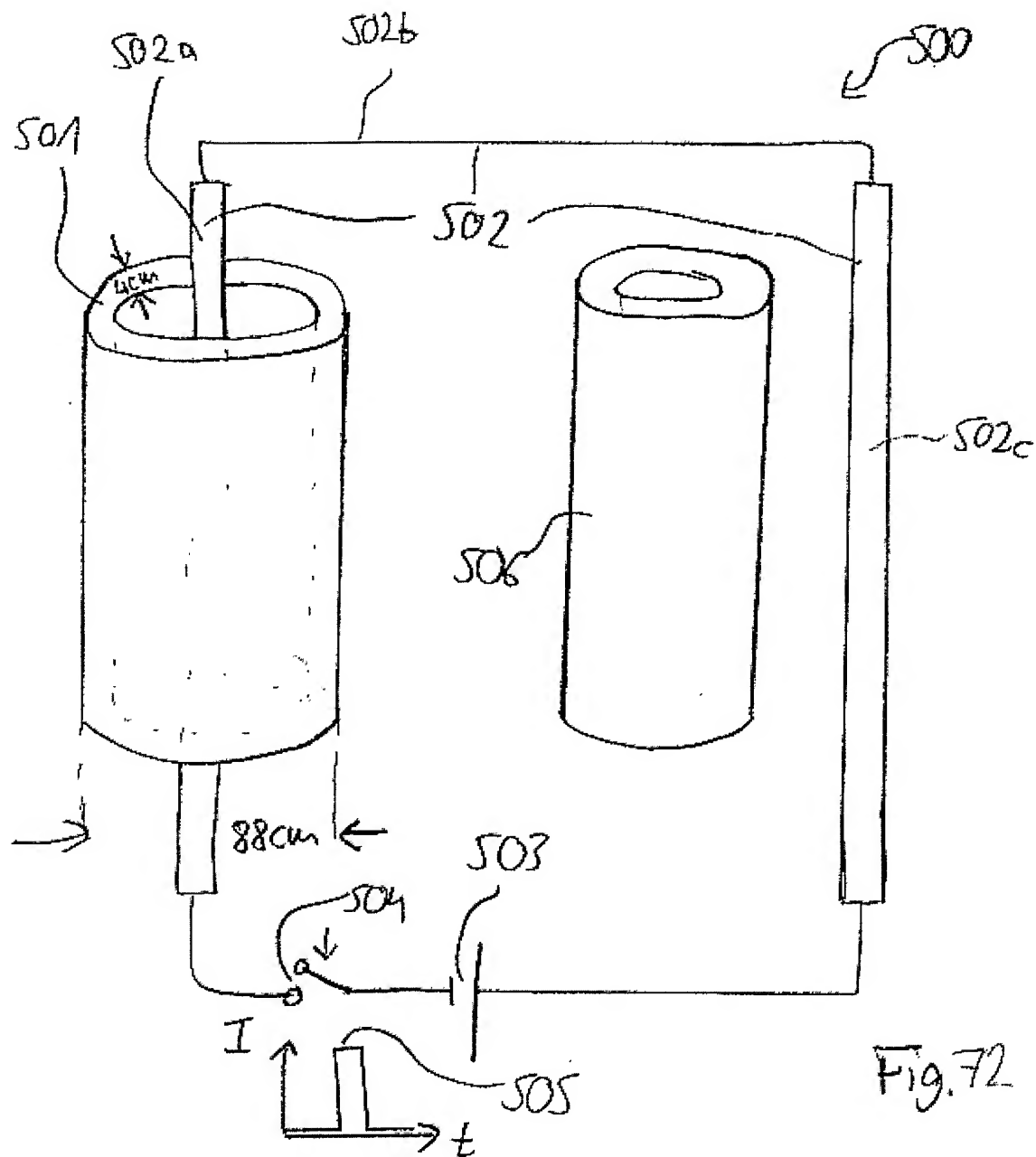
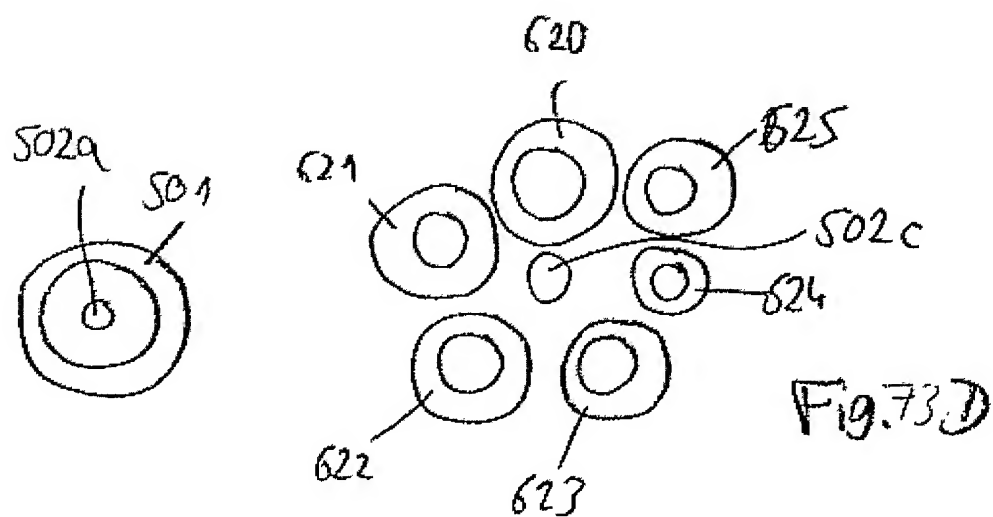
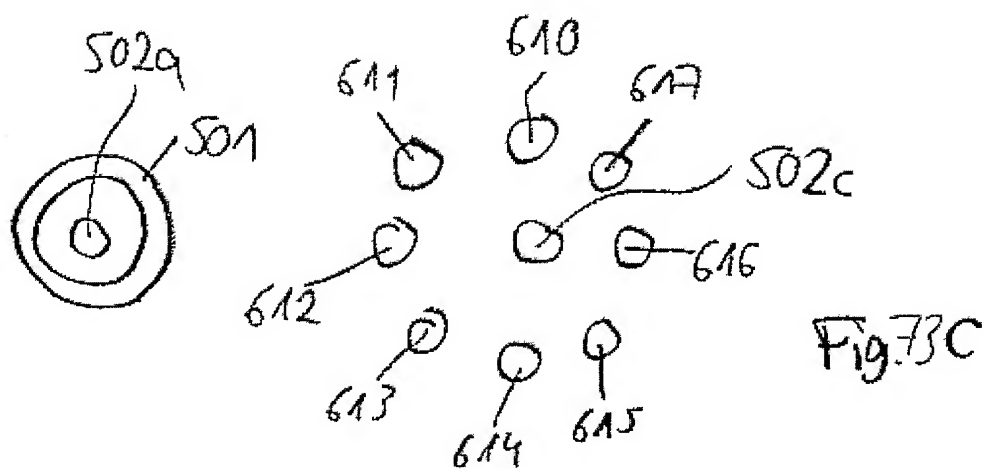
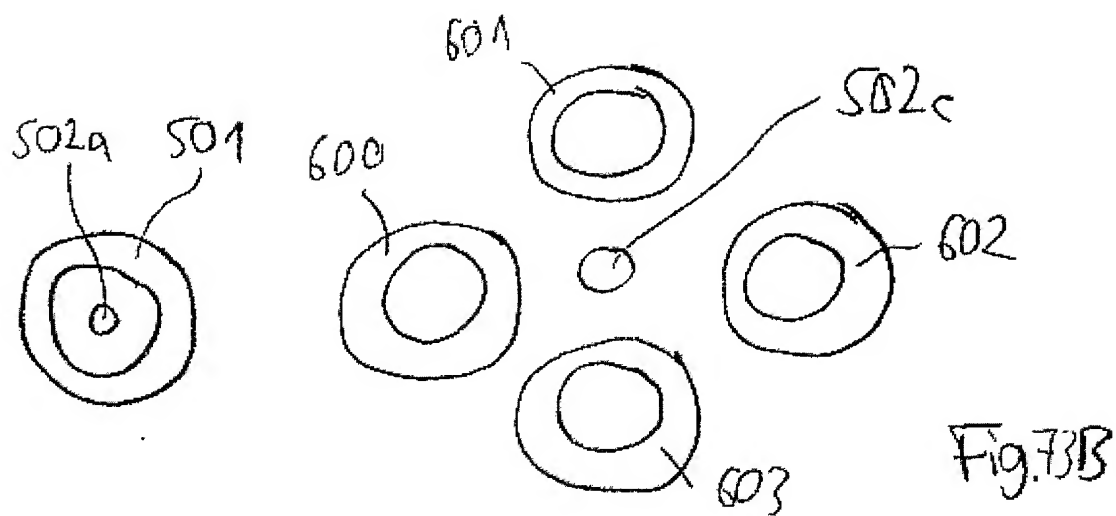


Fig. 58E

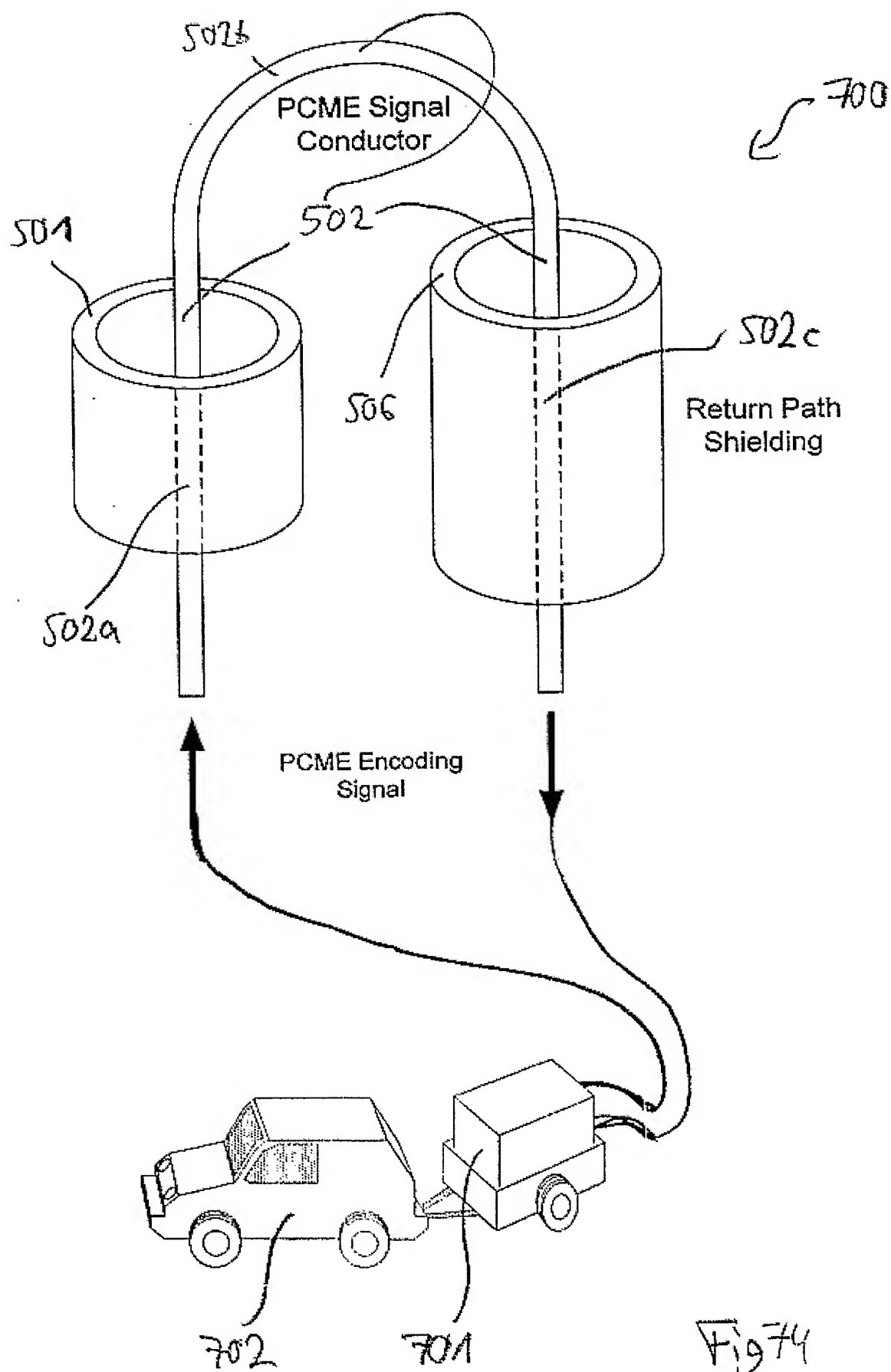


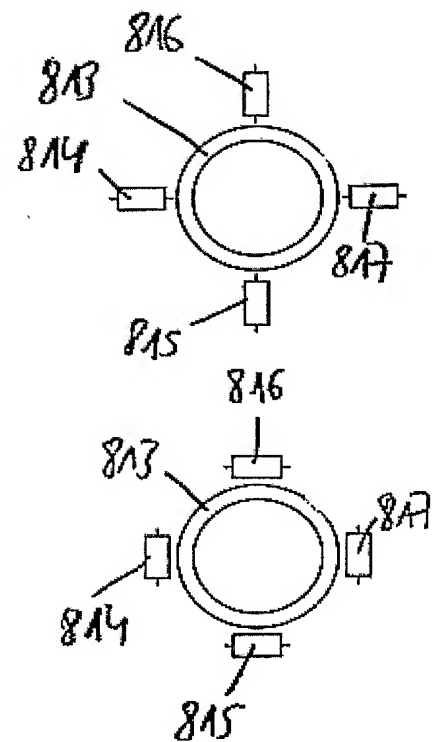
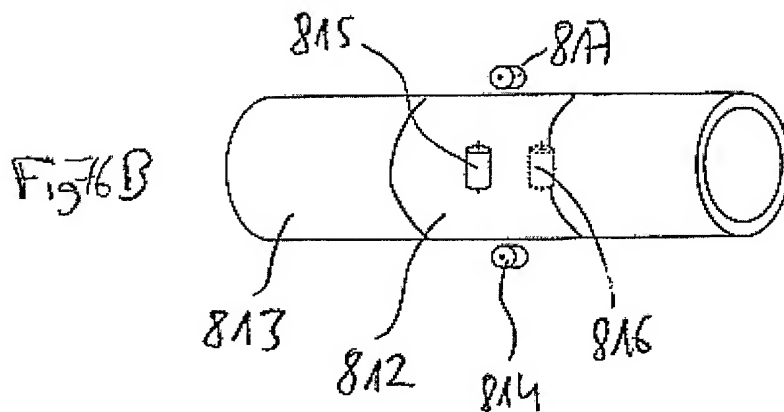
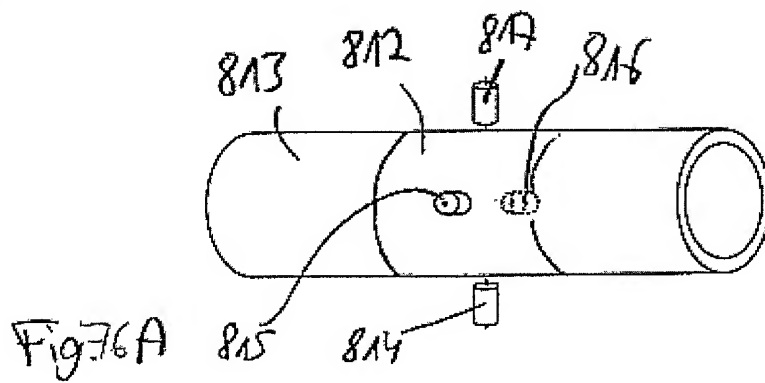
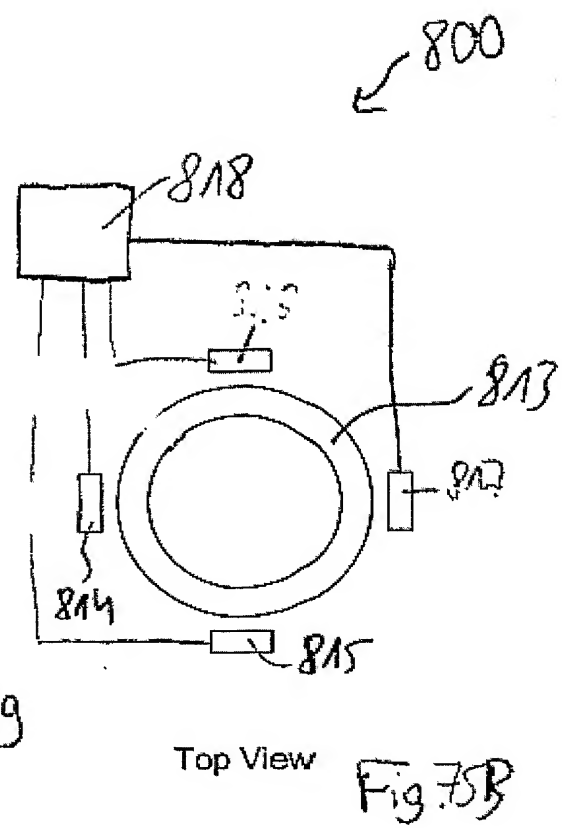
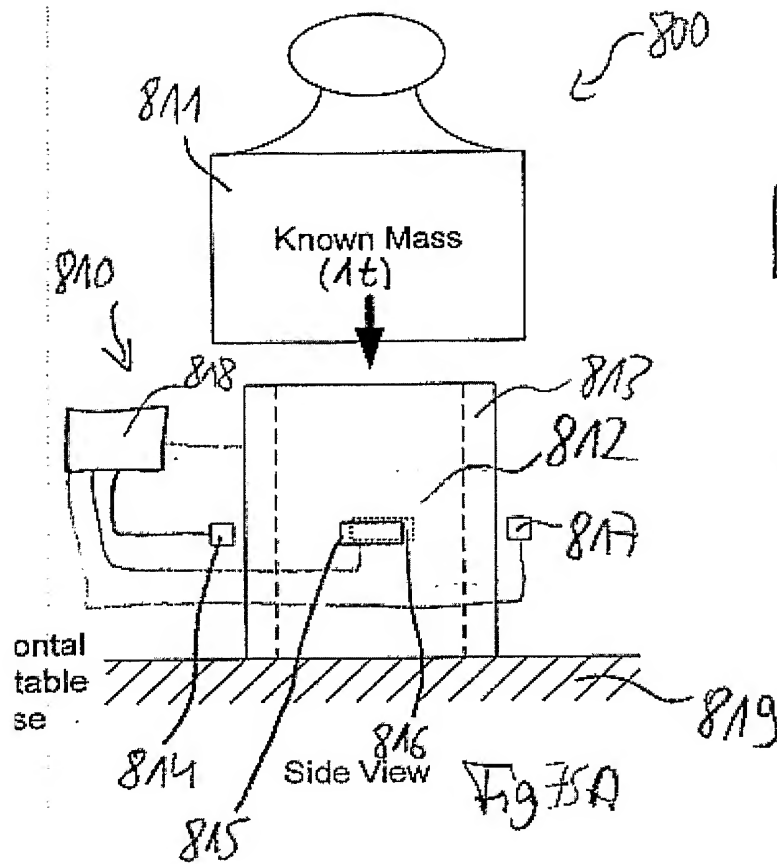


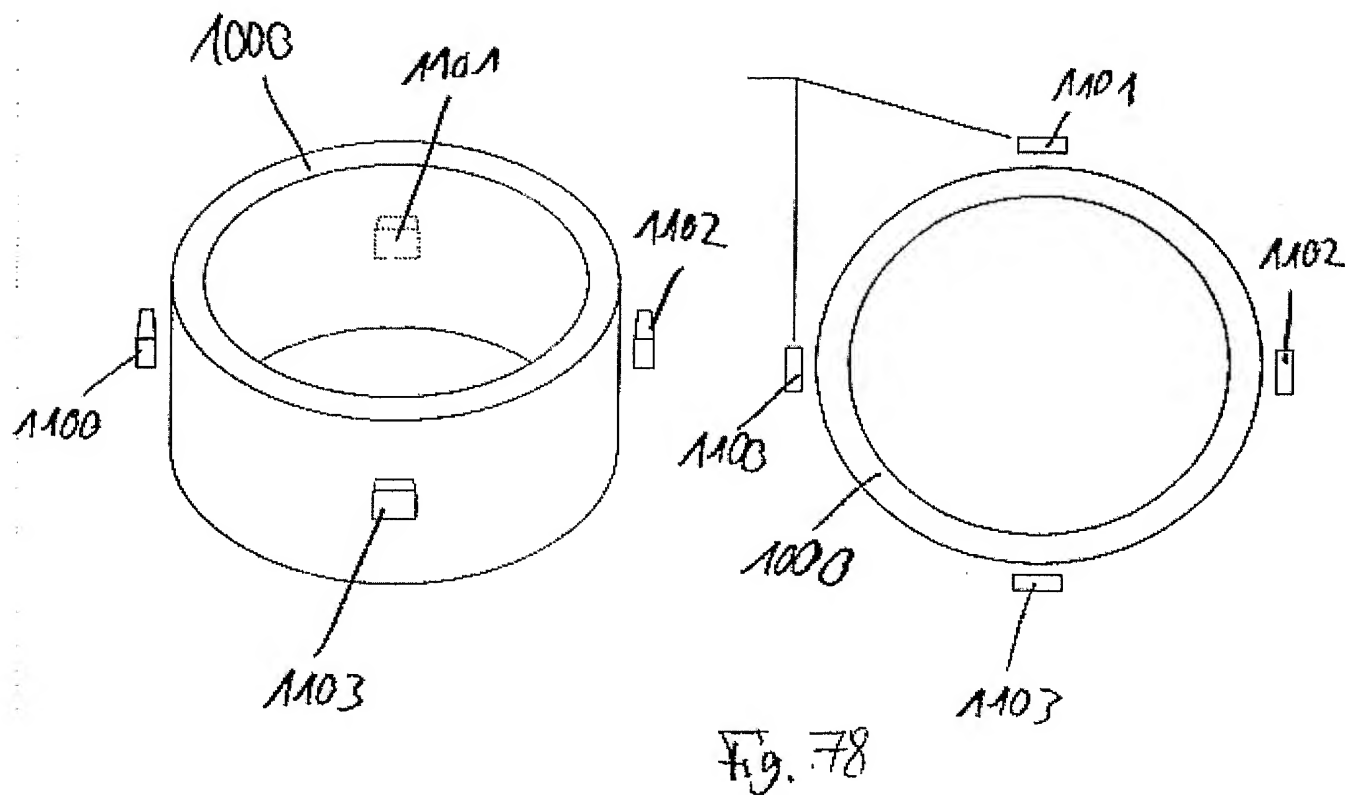
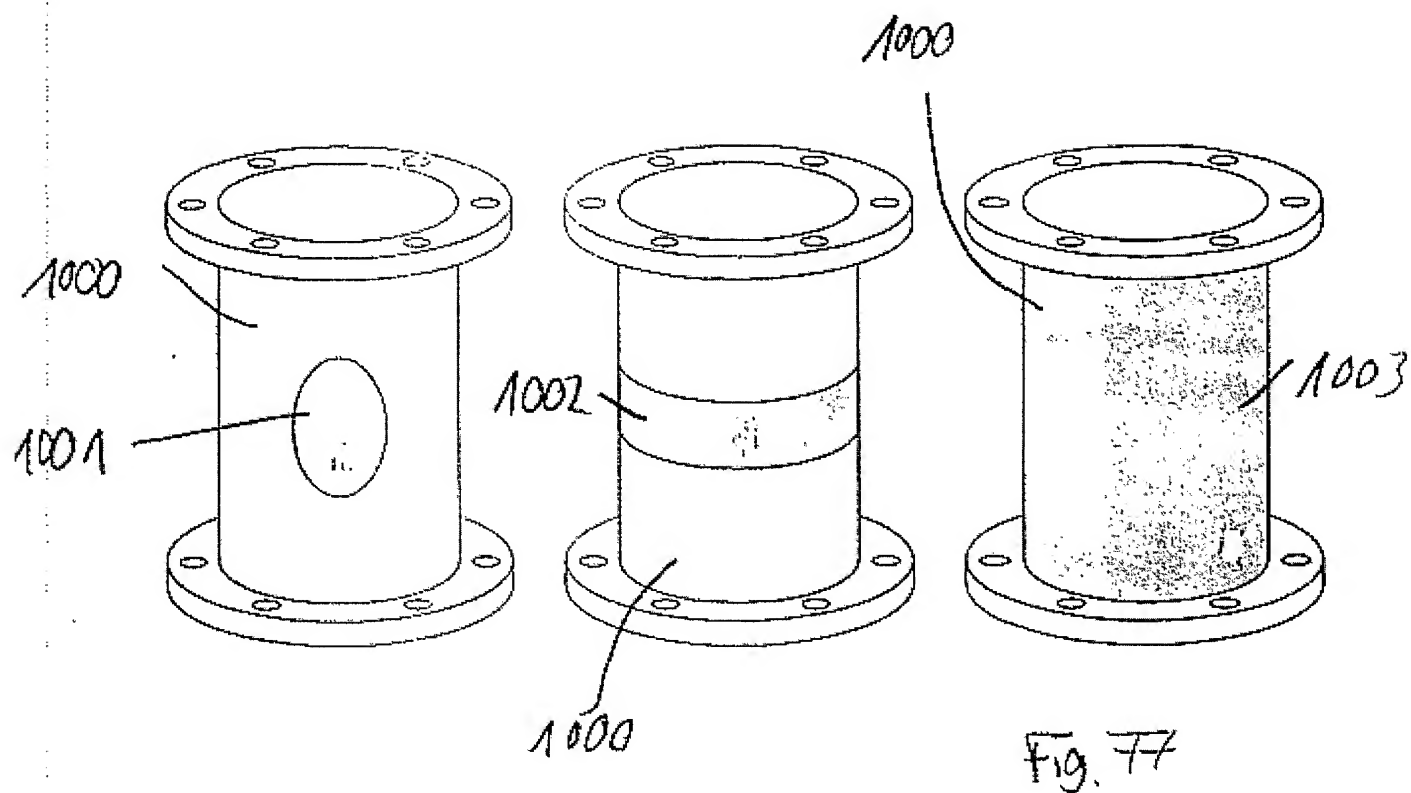












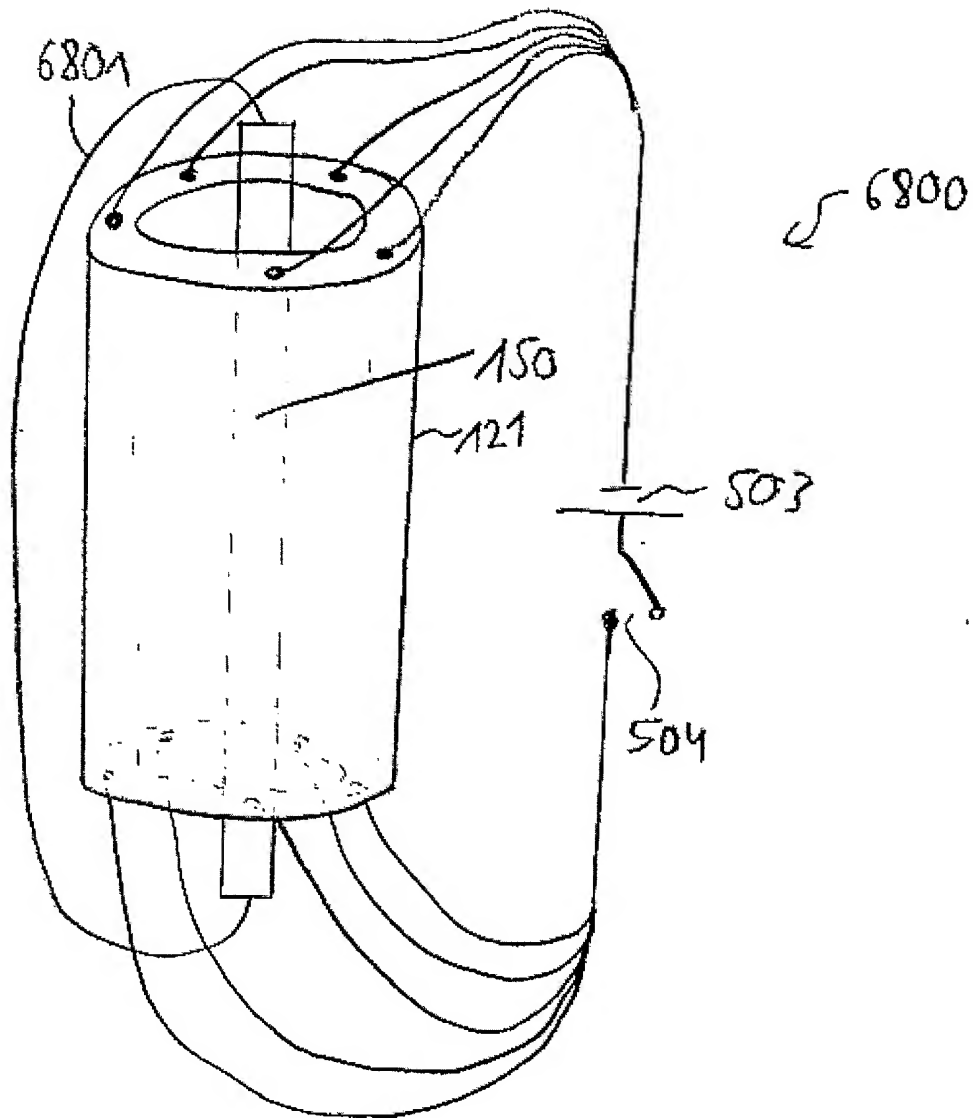


Fig. 79

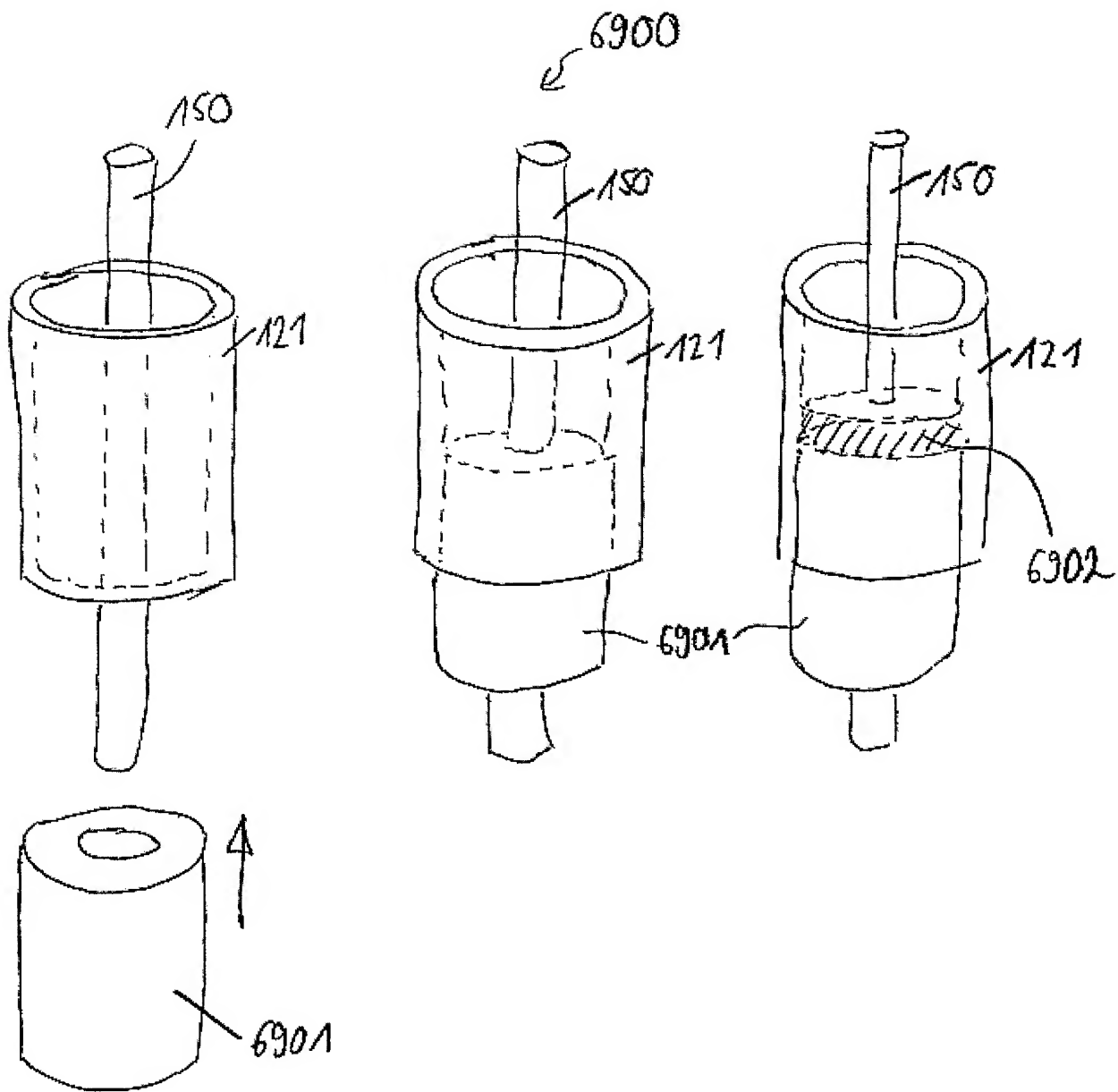


Fig. 80

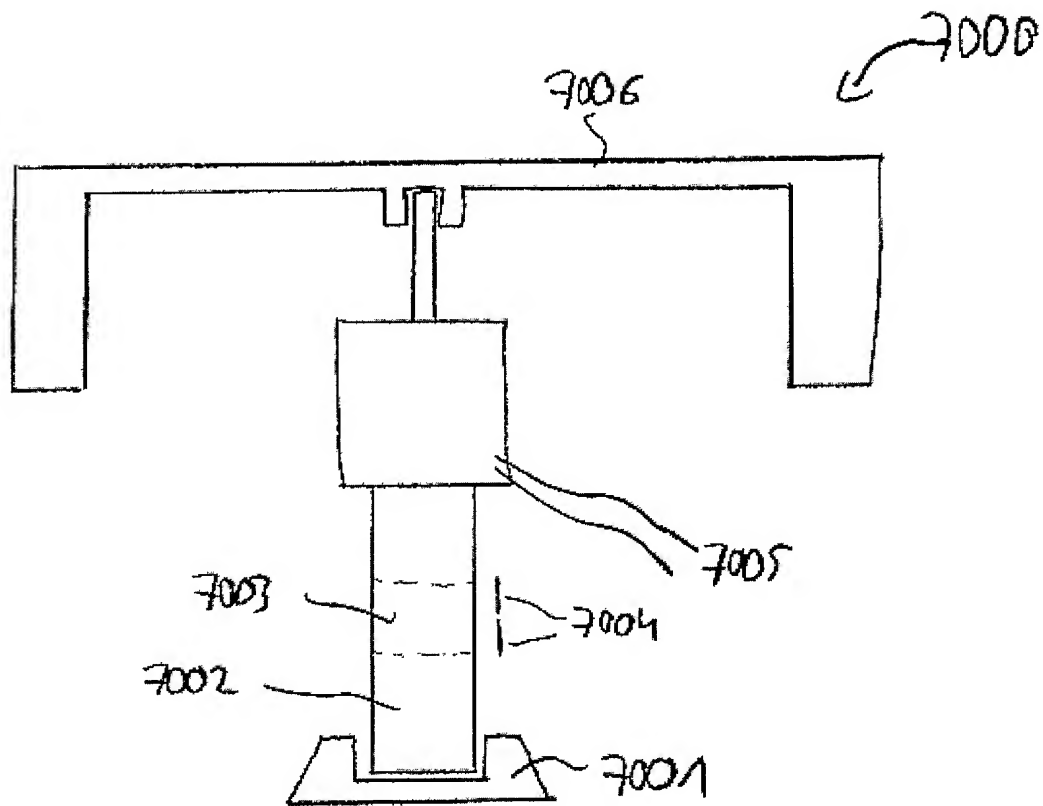


Fig. 81